



Universitatea Politehnica Bucureşti  
Facultatea de Automatică și Calculatoare

---

## LUCRARE DE LICENȚĂ

Identificarea și controlul metaeuristic al unei instalații hidraulice. Studiu de caz: instalație cu două rezervoare.

---

Absolvent: **Mitrică Răzvan-Ionuț**

Coordonator: **Conf. Dr. Ing. Janetta Culiță**  
**Prof. Dr. Ing. Dan Ștefănoiu**

June 22, 2020

# Cuprins

<b>Listă de figuri</b>	<b>3</b>
<b>1 Introducere</b>	<b>5</b>
1.1 Motivație . . . . .	5
1.2 Obiectiv . . . . .	5
1.3 Descrierea lucrării . . . . .	5
<b>2 Prezentare instalație</b>	<b>7</b>
2.1 Descrierea instalației . . . . .	7
2.2 Configurația instalației . . . . .	9
2.3 Modelarea dinamicii procesului . . . . .	9
<b>3 Identificarea parametrilor instalației</b>	<b>11</b>
3.1 Formularea problemei de identificare . . . . .	11
3.2 Modele parametrice . . . . .	13
3.3 Funcția criteriu . . . . .	17
<b>4 Optimizare metaeuristica</b>	<b>18</b>
4.1 Metaeuristici . . . . .	18
4.2 Algoritm bazat pe licurici . . . . .	19
4.3 Algoritm genetic . . . . .	23
<b>5 Control PID optimal metauristic</b>	<b>28</b>
5.1 Legea de control PID . . . . .	28
5.2 Determinarea parametrilor PID . . . . .	30
<b>6 Aplicație</b>	<b>34</b>
6.1 Identificarea modelului . . . . .	34
6.1.1 Semnalul de stimul și datele de identificare . . . . .	34
6.1.2 Funcția fitness . . . . .	36
6.1.3 Implementare algoritm genetic . . . . .	39
6.1.4 Implementare algoritm licurici . . . . .	47
6.1.5 Comparație algoritmi . . . . .	53
6.2 Proiectarea comenzi . . . . .	54
<b>7 Concluzii</b>	<b>60</b>
<b>Bibliografie</b>	<b>61</b>

# Listă de figuri

2.1	ASTANK2 [2] . . . . .	7
2.2	Schema arhitecturii ASTANK2 [1] . . . . .	8
3.1	Cutie neagra . . . . .	11
3.2	Structură Box-Jenkins . . . . .	13
3.3	Structură ARMAX . . . . .	14
3.4	Structură ARX . . . . .	14
3.5	Structură ARMA . . . . .	15
3.6	ARX MIMO . . . . .	15
4.1	Schema de principiu . . . . .	20
4.2	Pozitia licuricilor . . . . .	22
4.3	Structura generală a AG [7] . . . . .	24
4.4	Operația de încrucișare . . . . .	24
4.5	Operația de mutație . . . . .	25
4.6	Operația de inversiune . . . . .	25
4.7	Populație AG . . . . .	27
5.1	Schema de control în buclă închisă . . . . .	28
5.2	Schema de control RST . . . . .	29
5.3	Schema de control PID . . . . .	29
5.4	Codificare parametri PID . . . . .	31
5.5	Schema de identificare a PID [4] . . . . .	32
5.6	Schema de control multivariabil . . . . .	33
6.1	Semnalele de stimul pentru datele de identificare . . . . .	35
6.2	Semnalele de stimul pentru datele de valdiere . . . . .	36
6.3	Nivelul măsurat din bazinul 1 . . . . .	37
6.4	Nivelul măsurat din bazinul 2 . . . . .	37
6.5	Date măsurate vs date simulate cu model ARX . . . . .	38
6.6	Inițializare uniformă a populației . . . . .	41
6.7	Indivizii primei populații . . . . .	41
6.8	Selecția prin competiție . . . . .	42
6.9	Evolutie fitness parte utilă ieșire 1 . . . . .	43
6.10	Canal 1: Ieșire măsurată vs ieșire simulată cu model ARX . . . . .	44
6.11	Canal 1: Ieșire măsurată vs ieșire simulată cu model global . . . . .	44
6.12	Zgomot alb rezidual ieșire 1 . . . . .	45
6.13	Evolutie fitness parte utilă ieșire 2 . . . . .	45
6.14	Canal 2: Ieșire măsurată vs ieșire simulată cu model ARX . . . . .	46
6.15	Zgomot alb rezidual ieșire 2 . . . . .	46
6.16	Canal 2: Ieșire măsurată vs ieșire simulată cu model global . . . . .	47
6.17	Determinare poziție viitoare . . . . .	49
6.18	Perturbatia intensității luminoase a mediului . . . . .	49
6.19	Evolutie fitness parte utilă ieșire 1 . . . . .	50
6.20	Canal 1: Ieșire măsurată vs ieșire simulată cu model ARX . . . . .	50
6.21	Canal 1: Ieșire măsurată vs ieșire simulată cu model global . . . . .	51
6.22	Zgomot de identificare ieșire 1 . . . . .	51
6.23	Evolutie fitness parte utilă ieșire 2 . . . . .	52
6.24	Canal 2: Ieșire măsurată vs ieșire simulată cu model ARX . . . . .	52
6.25	Canal 2: Ieșire măsurată vs ieșire simulată cu model global . . . . .	53
6.26	Zgomot de identificare ieșire 2 . . . . .	53
6.27	Tabel rulări . . . . .	54
6.28	Schema de control . . . . .	55
6.29	Perturbatie + zgomot . . . . .	56
6.30	Răspuns la treaptă ieșire $y_1$ . . . . .	57
6.31	Răspuns la treaptă ieșire $y_2$ . . . . .	57
6.32	Rejecție perturbație ieșire $y_1$ . . . . .	58
6.33	Rejecție perturbație ieșire $y_2$ . . . . .	58

6.34 Succesiune trepte ieșire $y_1$ . . . . .	59
6.35 Succesiune trepte ieșire $y_2$ . . . . .	59

# 1 Introducere

## 1.1 Motivație

Apa reprezintă o resursă foarte importantă, de-a lungul mileniilor, oamenii încercând să interacționeze în foarte multe moduri cu aceasta. Odată cu trecerea timpului a apărut și nevoia de a putea controla acest element. Mai mult, concomitent cu dezvoltările tehnologice și cu apariția ramurii automaticii, a apărut nevoia controlului unor caracteristici ale apei, fie caracteristici proprii, fie caracteristici ca parte a unui sistem. Această problemă rămâne în continuare una care dă bătăi de cap inginerilor, mai ales în sistemele cu vase de diferite forme sau care comunică.

Sistemele fluidice sunt necesare în mod esențial în cadrul proceselor vitale din cadrul industriilor precum, industria petro-chimică, energetică, de tratare a apei sau în agricultură. Majoritatea acestor procese se bazează pe interacțiunea dintre mai multe bazine, în care controlul nivelului de lichid și debit dintre bazine reprezintă o problemă majoră, în special datorită faptului că pot fi descrise ca sisteme multi-variabile cu dinamică neliniară. Prin urmare, procesele cu mai multe bazine au captat atenția comunității inginerești și diferite strategii de control au fost proiectate și implementate pe sistemele cu 4 bazine. Procesele cu mai multe bazine referite în lucrările de specialitate sunt alcătuite din 2, 3 sau 4 bazine cu formă rectangulară sau cilindrică.

## 1.2 Obiectiv

Scopul acestei lucrări este identificarea unui model matematic care să estimeze cât mai precis comportamentul unei instalații cu două rezervoare (instalația ASTANK 2), precum și proiectarea unei legi de comandă care să asigure (în buclă închisă) păstrarea nivelului de lichid în bazine la anumite valori și rejectarea perturbațiilor. Procesul este neliniar prin natura sa, iar datele masurate furnizate de senzori, pe care le vom folosi în identificarea experimentală, sunt afectate de zgomot de măsură (perturbații).

Setul optim de indici strucurali ai modelului de identificare va fi determinat cu ajutorul unei metaeuristici care maximizează o funcție criteriu bazată pe raportul semnal-zgomot al modelului. De asemenea, pentru controlul nivelului de lichid din rezervore se va proiecta câte un regulator PID pentru fiecare mărime controlată, ai căror parametri vor fi determinați tot printr-o metauristică (algoritm genetic).

## 1.3 Descrierea lucrării

În prima parte a lucrării este prezentată instalația ASTANK 2, atât din punct de vedere funcțional cât și constructiv. Se va prezenta problematica modelării dinamicii sistemului și necesitatea de a construi un model de identificare experimental.

Partea a doua cuprinde formularea problemei de identificare și tipurile de modele utilizate pentru modelarea dinamicii procesului, atât pentru componenta utilă, cât și pentru componenta de zgomot a procesului. Ambele componente vor fi identificate pe

baza seturilor de date intrare/ieșire disponibile în urma unui experiment econometric. Tot în acest capitol, va fi descrisă și funcția criteriu folosită pentru obținerea unei structuri optime a modelului de identificare.

În a treia parte se prezintă doi algoritmi (metaeuristici) folosiți pentru găsirea setului optim de indici structurali care să îndeplinească maximizarea funcției criteriu specificate în capitolul anterior. Acești algoritmi (algoritm bazat pe roi de licurici și algoritm genetic) se aplică separat pentru partea utilă, modelată cu ajutorul unui model de tip ARX, cât și pentru partea de zgromot, care este modelată cu un model de tip ARMA. Prin urmare, se dorește găsirea a 2 astfel de modele optimale, care, împreună, să constituie modelul global adecvat al procesului.

A patra parte se concentrează pe găsirea a 2 controlere din clasa regulatoarelor PID, ce trebuie să calculeze în buclă închisă comanda care să asigure urmărirea referinței și rejetarea perturbațiilor.

Ultimul capitol cuprinde rezultatele obținute prin aplicarea celor două metode menționate pentru identificarea modelului optimal al instalației. Se vor prezenta, comparativ, rezultatele obținute cu ajutorul algoritmului genetic și algoritmului bazat pe licurici. Modelele optime identificate vor fi folosite la etapa de reglare, în conjuncție cu regulatoarele din clasa PID acordăți cu ajutorul algoritmului genetic.

## 2 Prezentare instalație

Instalația ASTANK2 [2] reprezintă un sistem hidraulic care include 2 bazine deschise, de aceeași înălțime. Bazinele sunt alimentate cu apă dintr-un al treilea bazin (de acumulare) prin intermediul unei rețele de distribuție și pompare a apei. Principala caracteristică a acestei instalații o reprezintă bazinele teșit, care introduce neliniarități în proces.



Figure 2.1: ASTANK2 [2]

### 2.1 Descrierea instalației

Cele două bazine pot fi conectate prin intermediul conductei sau să opereze independent, în funcție de poziția robinetului R. Golirea celor două bazine poate fi controlată prin intermediul robinetilor R11 și R21, care pot fi deschiși sau închiși. Astfel, numeroasele configurații disponibile conduc la o mare varietate de experimente ce pot fi întreprinse pe baza instalației.

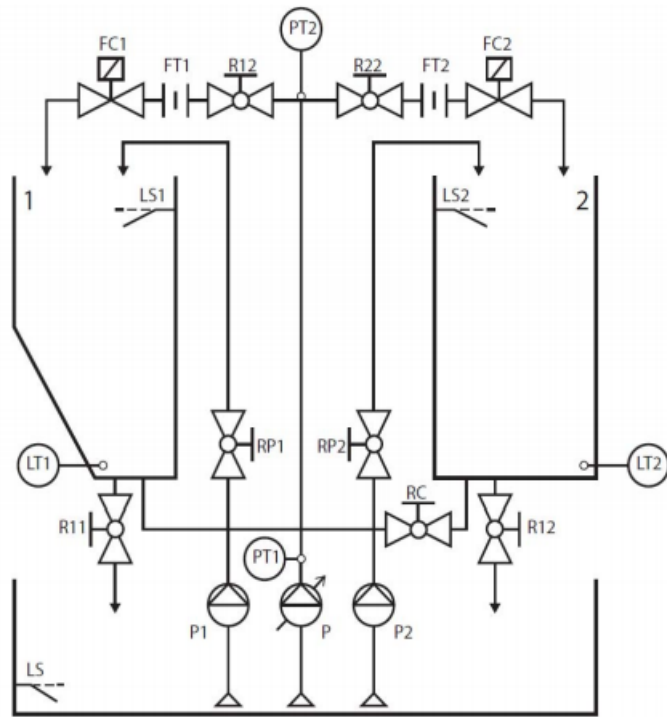


Figure 2.2: Schema arhitecturii ASTANK2 [1]

Nivelul de apă din fiecare bazin este măsurat cu ajutorul traductoarelor de nivel LT1 și LT2. Senzorii de nivel LS1 și LS2 trimit semnale doar în cazul umplerii la un nivel prea mare al bazinelor. Senzorul LS monitorizează atingerea unui nivel prea mic în bazinul de alimentare pentru a preveni funcționarea în gol a pompei P.

Pompa P are rolul de a distribui apă din bazinul de alimentare în sistem, de-a lungul conductei mediane. Presiunea și debitul de apă pompă pot fi controlate prin ajustarea frecvenței.

Conducta verticală se ramifică în două în partea de sus, iar presiunea fluidului este monitorizată cu ajutorul traductoarelor de presiune PT1 și PT2. Pe cele două ramificații orizontale, traductoarele de debit FT1 și FT2 măsoară debitul care intră în cele două bazine. Acest debit este controlat (variat) prin intermediul electro-valvelor FC1 și FC2, controlate în tensiune.

Sistemul de pompare este completat de alte două pompe auxiliare - P1 și P2 - prin intermediul cărora se poate adăuga apă la debit constant în cele două bazine. Acestea pot fi folosite pentru a introduce perturbații în sistem.

Astfel, procesul instalației ASTANK2 poate fi considerat un proces multivariabil (de tip MIMO - Multiple Input Multiple Output) cu 3 intrări (tensiunile aplicate pe cele două electro-valve, tensiunea aplicată pompei principale) și 2 ieșiri (nivelurile din cele 2 bazine superioare). Pentru un caz extins, pe care nu il voi aborda în această lucrare, se pot considera 5 parametri de control, adică 5 marimi de intrare (tensiunea

electro-valvelor, tensiunea aplicată pompei principale și deschiderea sau închiderea robinetelor pompelor secundare).

## 2.2 Configurația instalației

După cum a fost menționat în (2.1), există multe configurații posibile ale instalației, în funcție de acționarea asupra robinetilor precizați. De exemplu, setarea robinetului **RC** conduce la configurații și implicit la dinamici diferite. Dacă acesta este deschis, procesul de umplere-golire a rezervoarelor (în buclă deschisă) devine mai lent, adică stabilizarea nivelurilor în cele două rezervoare se face după un timp îndelungat (cca 20-30 minute). De asemenea, robinetele **RP1** și **RP2** pot fi folosite pentru introducerea de perturbații în proces, în mod independent în fiecare bazin în parte.

În lucrarea de față a fost aleasă următoarea configurație:

- Toate robinetele sunt deschise de tot, robinetele de evacuare ale celor două bazine (**R11** și **R12** fiind singurele deschise la 50 %).
- Pompele auxiliare nu au fost folosite ca intrări, acestea fiind setate pe **OFF**.
- Pompa principală alimentată la **7-9V**.
- Pentru setul de date folosit la identificare, tensiunile celor 2 electro-valve au fost variate între  $\simeq 5V$  și  $\simeq 10V$ , iar pompa principală a fost alimentată la tensiunea  $U=9V$ .

Conform acestei configurații, procesul este unul multivariabil cu 3 intrări și două ieșiri. Una dintre cele 3 intrări (pompa principală) este menținută la valoare constantă, pe când cele două electro-valve vor putea fi acționate în tensiune.

## 2.3 Modelarea dinamicii procesului

Modelul analitic dezvoltat pentru instalația ASTANK2 se poate dovedi inadecvat pentru simulare din cauza următoarelor limitări practice [1]:

- Procesul de curgere prin conductele superioare orizontale este afectat de perturbații, din cauza lungimii scurte.
- Debitele de apă pompele pe cele două căi laterale, prin ajustarea tensiunilor celor două electro-valve FC1 și FC2 nu se distribuie neapărat proporțional cu valorile acestor tensiuni. De exemplu, pentru diferențe mai mari de 4V între cele 2 tensiuni, s-a constatat, pe baza experimentelor, ca unul dintre bazine nu va fi alimentat aproape deloc. Pentru a construi un model adecvat trebuie să se țină cont de toate combinațiile de tensiuni ale celor două electro-valve.
- Inversarea valorilor celor două tensiuni nu conduce neapărat la inversarea valoilor debitelor.

- Ajustarea tensiunilor celor 2 electro-valve trebuie să se facă cu evitarea salturilor mai mari de 3V, acestea putând duce la defectarea electro-valvelor.

### 3 Identificarea parametrilor instalației

Această parte a lucrării este dedicată identificării experimentale a unui model matematic adecvat și valid, care să aproximeze cât mai bine procesul de umplere-golire din instalația ASTANK2. Astfel, se dorește găsirea unui **model de identificare**, adică a unei **relații matematice** intrare-ieșire care să descrie cu acuratețe caracteristicile și funcționarea procesului. De regulă, în abordarea identificării experimentale, procesul este văzut ca o **cutie neagră**, ce furnizează semnale de reacție (ieșire) la stimularea cu diferite semnale de comandă. Seturile de date intrare-ieșire furnizate din proces printr-un experiment econometric (achiziție și măsurare) constituie baza construirii unui model matematic experimental (model de identificare) al procesului. Desigur, modelul este identificat (estimat) cu ajutorul unei metode de identificare aplicate unei clase de modele de identificare stabilite.

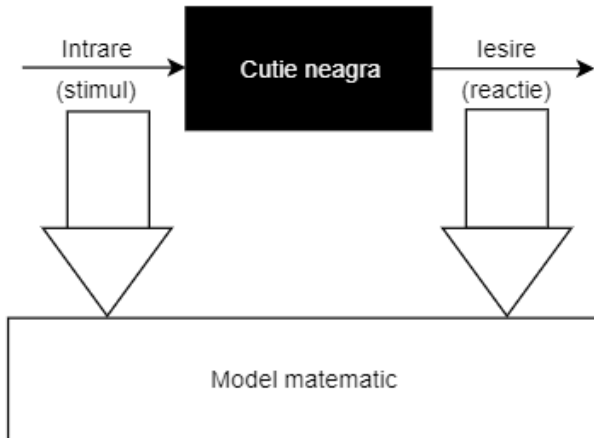


Figure 3.1: Cutie neagră

#### 3.1 Formularea problemei de identificare

Așadar, problema identificării experimentale poate fi formulată astfel [9]: având un proces cu structura necunoscută și parametri necunoscuți, se dorește construcția și determinarea unui model matematic intrare-ieșire pe baza datelor achiziționate din proces, astfel încât modelul să descrie cât mai fidel comportamentul procesului în sensul unui criteriu de adecvanță. Parametrii modelului de identificare nu au semnificație fizică, ci sunt meniți să descrie doar relația intrare-ieșire a procesului. Cu toate că modelul matematic poate reflecta comportamentul procesului în jurul unui anumit punct de funcționare, deci poate avea generalitate limitată, avantajul major al identificării experimentale îl constituie implementabilitatea unor metode/algoritmi de identificare, aplicate în scopul obținerii modelului matematic .

Construcția modelelor de identificare se bazează pe datele experimentale furnizate de cutia negră în urma stimulării acesteia cu semnale ce au valori situate în jurul punctului de funcționare al procesului. Astfel, procesul necunoscut, care poate fi analizat doar prin prisma dependenței intrare-iesire a acestuia, trebuie aproximat cu un model implementabil numeric care să reflecte caracteristicile dinamicii procesului real. Acest model este estimat prin minimizarea unei funcții criteriu care asigură apropierea dintre modelul simulat și procesul real.

Astfel, modelul obținut va fi un **model experimental**. Modelele experimentale se bazează pe algoritmi inspirați din teoria optimizării și teoria estimației, preluând avantaje din ambele (implementabilitate, respectiv caracterizare statistică sau verificarea unor proprietăți statistice a parametrilor modelului).

Etapele preliminare ale unui experiment de identificare sunt ([9]):

- Se studiază informațiile preliminare ale procesului
  - Organizarea experimentului econometric
  - Achiziția și prelucrarea primară a datelor
- Alegerea clasei de modele de identificare
- Alegerea modelului de identificare
- Alegerea metodei de identificare

Bucla principală a experimentului de identificare constă în evaluarea comparativă a unor modele de structuri diferite (combinații de indici structurali ai modelului) pe baza unui criteriu de adevență și alegerea structurii optime care optimizează acest criteriu. Căutarea modelului optimal se poate face fie exhaustiv, fie printr-o metaeuristică. Rezultatul acestui procedeu este un model matematic adecvat și valid al procesului.

De regulă, ultima etapă a unui experiment de identificare este validarea modelului, care se bazează pe pașii următori:

1. Atât procesul cât și modelul vor fi stimulati cu acelașemnal de stimul.
2. Se măsoară ieșirea procesului
3. Se evaluatează ieșirea modelului (ieșirea simulată)
4. Se evaluatează eroarea de predicție, ca diferența dintre rezultatele de la **2** și **3** și se aplică teste de albire (de validare). Dacă eroarea de predicție are caracteristicile unui semnal de tip zgomot alb, atunci se poate spune că modelul identificat este valid.

### 3.2 Modele parametrice

Modelele matematice de identificare sunt modele parametrice (sau numerice) [10], în care conceptul central este **parametrul** (de regulă, fără semnificație fizică). Clasa cea mai ușuală de modele parametrice intrare-iesire liniare este clasa ARMAX (sau mai generală, RSISO). În cadrul acestei lucrări se dorește identificarea unui **model parametric** din clasa **RSISO**.

Un model intrare-iesire poate fi scris sub forma generală:

$$y[n] = q^{-nk}G(q^{-1})u[n] + H(q^{-1})e[n] \quad (3.1)$$

Unde: **u[n]** și **y[n]** reprezintă valorile intrării și ieșirii procesului/modelului la un moment de timp n, **e[n]** este perturbatia care afectează datele măsurate (zgomot de măsură), considerat ca zgomot alb de medie nulă și dispersie unitară. **nk** este întârzierea sistemului (având, în mod ușual, valoarea 1). **G(q<sup>-1</sup>)** este funcția de sistem a părții utile a modelului (dinamica intrare-iesire), iar **H(q<sup>-1</sup>)** este funcția de sistem a părții nedeterministe (filtrul de zgomot).

Modelele din clasa RSISO (3.2) extind modelele din clasa ARMAX datorită posibilității de a preciza poli diferenți filtrelor de sistem și de zgomot. Forma lor este :

$$\begin{cases} A(q^{-1})y[n] = \frac{B(q^{-1})}{F(q^{-1})}u[n] + \frac{C(q^{-1})}{D(q^{-1})}e[n] \\ E\{e[n]e[m]^T\} = \lambda^2\delta(n - m) \end{cases} \quad (3.2)$$

Unde:

$$\begin{cases} A(q^{-1}) = 1 + a_1q^{-1} + \dots + a_{na}q^{-na} \\ B(q^{-1}) = 0 + b_1q^{-1} + \dots + b_{nb}q^{-nb} \\ F(q^{-1}) = 1 + f_1q^{-1} + \dots + f_{nf}q^{-nf} \\ C(q^{-1}) = 1 + c_1q^{-1} + \dots + c_{nc}q^{-nc} \\ D(q^{-1}) = 1 + d_1q^{-1} + \dots + d_{nd}q^{-nd} \end{cases} \quad (3.3)$$

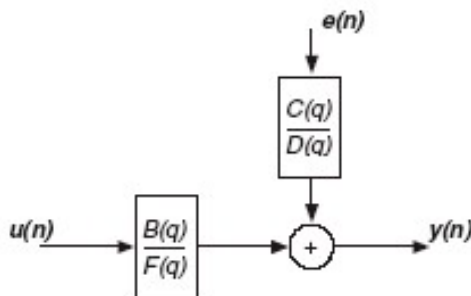


Figure 3.2: Structură Box-Jenkins

Prin particularizarea polinoamelor din modelul general RSISO se pot obține diferite modele particulare:

- **ARMAX** - AutoRegresiv cu Medie Alunecătoare și control eXogen (3.3): în acest caz polinoamele  $F(q^{-1})$  și  $D(q^{-1})$  sunt egale cu 1, funcția de sistem a părții utile și cea a părții stocastice având poli identici, dată de polinomul  $A(q^{-1})$ . ARMAX este o subclasă clasei RSISO.

$$A(q^{-1})y[n] = B(q^{-1})u[n] + C(q^{-1})e[n]$$

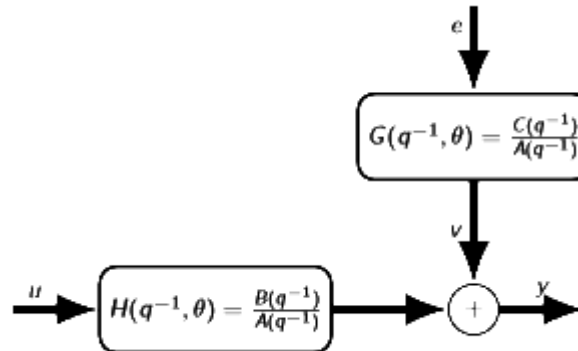


Figure 3.3: Structură ARMAX

- **ARX** - AutoRegresiv cu control eXogen (3.4): caz particular al clasei ARMAX, în care  $C(q^{-1}) = 1$

$$A(q^{-1})y[n] = B(q^{-1})u[n] + e[n]$$

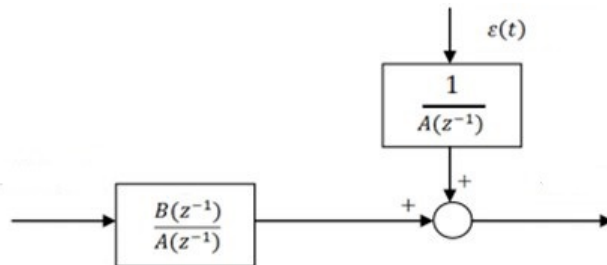


Figure 3.4: Structură ARX

Modelul **ARX** este destinat aplicațiilor de control, reprezentând atât dinamica deterministă cât și cea stocastică a procesului.

- **ARMA** - AutoRegresiv de Medie Alunecătoare (3.5): caz particular al clasei ARMAX, în care  $u[n] = 0$

$$A(q^{-1})y[n] = C(q^{-1})e[n]$$

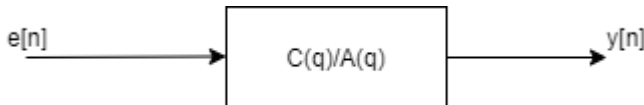


Figure 3.5: Structură ARMA

Modelul **ARMAX** este util în modelarea filtrelor de zgomot (perturbațiilor, ca zgomot colorate).

Un model parametric este determinat de un anumit număr de parametri necunoscuți ce trebuie determinați.

**Este necesară determinarea atât a valorilor parametrilor necunoscuți cât și a numărului lor.**

În această lucrare se urmărește determinarea unor modele parametrice optime din clasa RSISO. Presupunând inițial cunoscută structura modelului, identificarea valorilor parametrilor modelului se va realiza folosind procedurile cunoscute de optimizare (Metoda celor ai mici pătrate MCMMP pentru modele ARX, Metoda minimizării erorii de predicție MMEP, pentru modele ARMA și ARMAX). Având în vedere că structura unui model poate varia, valorile **indicilor structurali** optimali ai modelului vor fi determinate cu ajutorul metaeuristicilor. Așadar, modelul optimal va fi obținut prin implementarea unor metaeuristice descrise în capitolul următor.

Structura modelului ales de mine are în componență un filtru pentru partea utilă (model ARX), respectiv un filtru de zgomot (model ARMA), conform ecuațiilor de mai jos (3.4)-(3.10). Procesul multivariabil se va modela prin intermediul a 2 modele de tip MISO, aferente nivelurilor de lichid din cele două rezervoare.

Partea utilă a modelului ce trebuie identificat este ilustrată în figura (3.6):

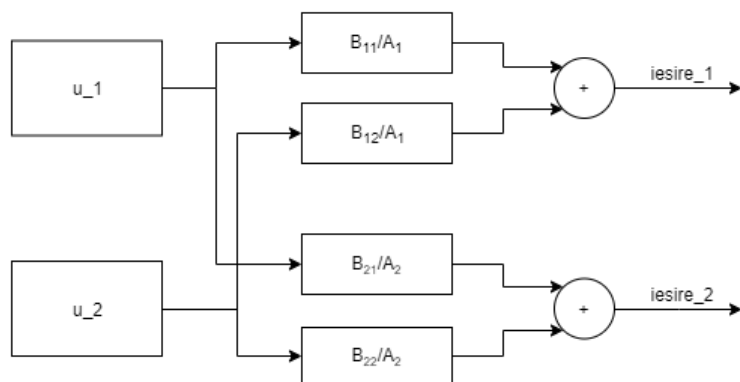


Figure 3.6: ARX MIMO

$$A(q^{-1})y[n] = B_1(q^{-1})u_1[n] + B_2(q^{-1})u_2[n] + v[n] \quad (3.4)$$

$$\begin{cases} A(q^{-1}) = 1 + a_1q^{-1} + \dots + a_{na}q^{-na} \\ B_1(q^{-1}) = q^{1-nk_1} (b_{1,1}q^{-1} + b_{2,1}q^{-2} + \dots + b_{nb_1,1}q^{-nb_1}) \\ B_2(q^{-1}) = q^{1-nk_2} (b_{1,2}q^{-1} + b_{2,2}q^{-2} + \dots + b_{nb_2,2}q^{-nb_2}) \end{cases} \quad \forall n, m \in \overline{1, N} \quad (3.5)$$

Ieșirea simulată a modelului util,  $y_{ARX}$  este (se presupun cunoscute gradele polinoamelor din 3.5):

$$\begin{aligned} y_{ARX}[n] = & -\hat{a}_1y_{ARX}[n-1] - \hat{a}_2y_{ARX}[n-2] - \dots - \hat{a}_{na}y[n-na] + \hat{b}_{1,1}u_1[n-nk_1] + \dots \\ & + \hat{b}_{nb_1,1}u_1[n-nk_1-nb_1+1] + \hat{b}_{1,2}u_2[n-nk_2] + \dots \\ & + \hat{b}_{nb_2,2}u_2[n-nk_2-nb_2+1] \quad \forall n \in \overline{1, N} \end{aligned} \quad (3.6)$$

Se inițializează  $y_{ARX}[n] = y[n], n \in \overline{1, \max\{na, nb_1, nb_2\}}$ .

Unde  $A$ ,  $B_1$  și  $B_2$  sunt polinoame de grade  $na$ ,  $nb_1$  și  $nb_2$ . Pentru fiecare dintre cele două ieșiri, zgometul poate fi identificat cu ajutorul unui model ARMA:

$v_r[n] = y[n] - y_{ARX}[n], \forall n \in \overline{1, N}$  reprezintă zgometul colorat rezidual ce trebuie identificat.

$$\begin{cases} v_r[n] = \frac{C(q^{-1})}{D(q^{-1})} e[n] \\ E\{e[n]e[m]\} = \lambda^2 \delta_0[n-m] \end{cases} \quad \forall n, m \in \overline{1, N} \quad (3.7)$$

Unde  $e$  este zgomet alb Gaussian de medie nulă și dispersie necunoscută  $\lambda^2$ , iar  $C$  și  $D$  sunt polinoame de grade  $nc$  și  $nd$ .

$$\begin{cases} C(q^{-1}) = 1 + c_1q^{-1} + \dots + c_{nc}q^{-nc} \\ D(q^{-1}) = 1 + d_1q^{-1} + \dots + d_{nd}q^{-nd} \end{cases} \quad (3.8)$$

Modelul ARMA poate fi identificat cu MMEP, ulterior estimându-se zgometul colorat  $v_{ARMA}$ .

$$\begin{cases} v_{ARMA}[n] = -\hat{d}_1v_{ARMA}[n-1] - \dots - \hat{d}_1v_{ARMA}[n-nd] + c_1\hat{e}[n-1] + \dots + \hat{c}_{nc}[n-nc] \\ \hat{e}[n] = v_r[n] + \hat{\alpha}v_r[n-1] + \dots + \hat{\alpha}v_r[n-na] \end{cases} \quad (3.9)$$

Unde  $\hat{e}$  este estimarea unui model AR de ordin  $n\alpha$ , setat mult mai mare decât  $\max\{nc, nd\}$ .

Se inițializează  $v_{ARMA}[n] = v_r[n], \forall n \in \overline{1, \max\{nc, nd\}}$ .

În final eroarea de predicție (ce trebuie minimizată) este:

$$\epsilon[n] = v_r[n] - v_{ARMA}[n], \forall n \in \overline{1, N} \quad (3.10)$$

### 3.3 Funcția criteriu

Presupunând stabilită structura modelului ce trebuie identificat, se poate trece la optimizarea setului de indici structurali. Această problemă se va formula ca o problemă granulară de optimizare. Pentru fiecare dintre cele 2 ieșiri ale procesului trebuie identificat modelul optim, care maximizează o funcție criteriu. Formularea acestei funcții are o deosebită importanță în procesul de identificare a numărului optim de parametri pentru polinoamele modelului structural. Valorile optime ale parametrilor vor fi calculate cu ajutorul metodei MMEP.

O posibilă formulare a funcției criteriu este calcularea sumei patratelor erorilor de predicție la fiecare moment de eșantionare

$$f_{criteriu} = \sum_{i=1}^n (y_{real}(i) - y_{simulat}(i))^2 \quad (3.11)$$

Pentru a obține direct un model valid, funcția criteriu folosită la optimizarea setului de indici structurali din această lucrare constă în calcularea raportului semnal-zgomot atât pentru datele de identificare cât și pentru cele de validare. Menționez că setul de măsurători a fost partajat în două subseturi: pentru identificare și pentru validare, după cum va fi explicitat în secțiunea (6).

Se obține un criteriu de cost compus, de forma:

$$f_{criteriu} = \alpha f_{ident} + (1 - \alpha) f_{valid} \quad (3.12)$$

Unde,  $f_{ident}$  reprezintă SNR-ul aferent setului de identificare, calculat ca raportul dintre norma semnalului de ieșire măsurat staționarizat și norma erorii de predicție (zgomot colorat) - diferența dintre ieșirea măsurată și ieșirea simulată.

Identic, în cazul lui  $f_{valid}$ , se ține cont de ieșirea măsurată staționarizată în urma folosirii setului de validare. În acest caz, eroarea de predicție se calculează ca diferența dintre date de ieșire de validare și date simulate cu modelul de identificare estimat.

$$f_{ident} = dB \left( \frac{\|y_{identificare}\|}{\|err_{identificare}\|} \right) \quad (3.13)$$

$$f_{valid} = dB \left( \frac{\|y_{validare}\|}{\|err_{validare}\|} \right) \quad (3.14)$$

$\alpha \in (0, 1]$  - factor de ponderare a celor două seturi. Dacă se dorește ca unul din seturi (de regulă, de identificare) să aibă ponderea mai mare, atunci se alege  $\alpha > 0.5$ . Evident, ponderile celor două seturi, sunt complementare.

## 4 Optimizare metaeuristică

După cum am precizat anterior, în momentul identificării valorilor optime ale coeficienților modelului, se consideră cunoscute valorile indicilor structurali. Valorile lor optimale vor fi găsite cu ajutorul **metodelor metaeuristicice** [7], care pot asigura un compromis bun între viteză și precizie. Căutarea exhaustivă pe un spațiu de căutare fractal este ineficientă.

### 4.1 Metaeuristici

Termenul *euristica* în optimizare originează din Grecia Antică, unde *heuriskein* înseamnă "a descoperi". Există două metode de căutare a unui optim într-un spațiu dat:

- Se poate efectua o căutare **exhaustivă**, în care fiecare tot spațiul este evaluat și se va găsi, într-un timp destul de lung optimul global.
- Căutare **euristică**, în care doar o mică parte din spațiu este evaluată (în mod strategic), încercându-se găsirea unui individ suficient de bun, cât mai apropiat de optim, cu avantajul reducerii semnificative a timpului de căutare.

Problema de optimizare se va defini în contextul unei funcții de cost(criteriu):

$$f : \mathcal{S} \rightarrow \mathbf{R}$$

unde, spațiul de căutare  $\mathcal{S}$  este un subset mărginit al  $\mathbf{R}^{nx}$ .

Funcția criteriu  $f$  se remarcă prin variațiile sale care împart spațiul de căutare în multe subspații cu extreme proprii, astfel existând multe extreme locale. Este aproape imposibilă evaluarea derivatelor lui  $f$ , de multe ori chiar neexistând. Problema poate fi relaxată prin căutarea numai într-un subspațiu  $\mathcal{D}$  optimul:

$$\text{opt}_{x \in \mathcal{D} \subset \mathcal{S}} f$$

Rezolvarea problemei devine echivalentă cu rezolvarea unei probleme granulare de optimizare, în care se va încerca găsirea particulei din  $\mathcal{D}$  cel mai apropiat de optimul global descris de  $f$ .

Principalul obiectiv al tehniciilor bazate pe euristică este dezvoltarea unor mecanisme de rezolvare care să evite căutarea exhaustivă, putând fi, totodată construiri algoritmi care să poată fi implementați pe calculator. Prin evitarea căutării exhaustive, găsirea optimului global nu va fi garantată, însă se încearcă reducerea semnificativă a timpului de căutare, păstrând o acuratețe suficient de bună.

Metodele euristicice care pot fi implementate pe sisteme de calcul sunt cunoscute sub denumirea de **metaeuristică**. Ele se bazează pe principiul următor: căutarea optimului simulează comportamentul unui sistem biologic sau evoluția unui fenomen

natural. Astfel, o nouă ramură a optimizării s-a dezvoltat recent, numită **Programare Evoluționară**.

În general, toate metodele metaeuristice folosesc generatoare pseudo-aleatoare pentru a selecta anumiți parametri sau anumite operații care conduc la estimarea soluției optime. În cazul secvențelor pseudo-aleatoare (**PRS**), densitatea lor de probabilitate ar trebui să fie specificată a priori. Există două tipuri de densități de probabilitate utilizate:

- uniformă sau normală: generator de secvențe pseudo-aleatoare cu probabilitate uniformă
- generator de secvențe pseudo-aleatoare cu probabilitate prescrisă.

Există două categorii de metaeuristice: **locală** și **globală**. În cadrul metodelor **locale** se presupune existența unui singur optim global sau căutare restrânsă la un singur subset care include optimul global. Scopul metodelor **globale** este găsirea optimului global sau aproximarea cât mai bună a sa prin cătuarea în diferite zone ale lui  $S$ . De regulă, pentru a evita blocajele în optime locale, se folosesc schimbări brusăte ale subsetului explorat.

## 4.2 Algoritm bazat pe licurici

Licuricii sunt insecte mici zburătoare, ce fac parte din clasa Coleoptera. Pe timpul nopții, ele emană semnale de lumină în scopul atracției mutuale. Algoritmul de optimizare bazat pe comportamentul licuricilor a fost introdus de Xin-She Yang, fiind inspirat de atracția reciprocă dintre insecte și fenomenul de atenuare naturală a luminii în funcție de distanță.

Licuricii sunt grupați într-un roi și lăsați să exploreze un spațiu de căutare, în interioul căruia vor interacționa prin intermediul semnalelor luminoase receptate de la alți indivizi ai roifului. Cu cât este mai strălucitor un licuric, cu atât acesta va putea fi capabil să atragă mai mulți indivizi. Intensitatea crește odată cu mărirea distanței în cadrul spațiului de căutare.

Zborul licuricilor este parțial aleator, iar strălucirea acestora este direct proporțională cu valorile exprimate prin criteriul de performanță. Astfel, dacă în cadrul problemei de optimizare este căutat un maxim global, atunci, licuricul cel mai strălucitor va fi cel care va da soluția.

Algoritmul bazat pe licurici [7] are tendința de a se termina având o populație finală concentrată în jurul unuia sau chiar mai multor indivizi. Algoritmul efectuează o căutare paralelă, astfel în cazul anumitor spații de căutare populația se poate concentra în mai multe zone. Algoritmul tinde să pună accentul pe explorare pe tot parcursul căutării, utilizatorul neputând controla prea bine echilibrul dintre exploatare și explorare.

Algoritmul bazat pe licurici are următorii pași principali:

- Definirea spațiului de căutare, a funcției criteriu(ce trebuie maximizată sau minimizată) și configurarea parametrilor (mărimea populației, numărul maxim de iterații, densitatea de probabilitate a direcțiilor perturbatoare, factorul de atracție);
- Licuricile vor fi distribuiți în mod uniform în cadrul spațiului de căutare;
- Se calculează intensitatea luminoasă a fiecărui licurici;
- Se găsește cel mai strălucitor licurici și se inițializează soluția optimă;

Mai departe, se vor urma pașii conform diagramei de mai jos:

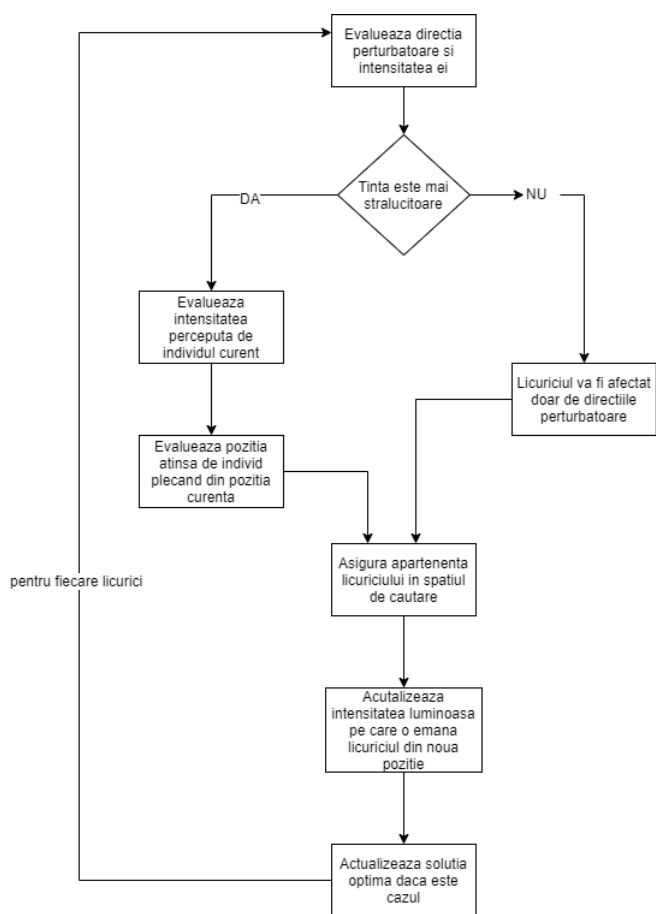


Figure 4.1: Schema de principiu

Modelul dinamic al comportamentului licuricilor este:

$$x_p^{k+1} = x_p^k + \beta_{p,q}^k (x_q^k - x_p^k) + \alpha^k \operatorname{sign}(\rho^k - \frac{1}{2}) \zeta^k(\phi_s) \quad (4.1)$$

Unde:

- $\beta_{p,q}^k$  - intensitatea luminoasă a licuriciului  $q$  percepută de licuriciul  $p$  la iterația  $k$
- $\alpha^k \in [0, 1]$  - număr general aleator cu densitate de distribuție uniformă, care exprimă influența celorlalte surse luminoase asupra licuriciului curent în timpul zborului său
- $\rho^k \in [0, 1]$  este un număr aleator folosit pentru generarea sensului direcției perturbatoare, în cadrul  $sign(\rho^k - \frac{1}{2})$
- $\zeta^k(\phi_s) \in \mathbf{R}^{nx}$  - vector setat aleator (de distribuție neuniformă), care reprezintă direcția perturbatoare rezultată din lumina împrăștiată de ceilalți licurici.
- $\phi_s$  - parametru proporțional cu dimensiunea spațiului de căutare.

Pe baza principiului atracției luminii percepute, licuriciul  $p \in \overline{1, P}$  zboară către licuriciul mai luminos  $q \in \overline{1, P}$ , poziția sa fiind evaluată pe baza ecuației (4.1).

Expresia intensității luminoase,  $\beta_{p,q}^k$  depinde de distanța dintre 2 licurici, exprimată prin  $d(x_p^k, x_q^k)$ , care este distanța euclidiană:

$$d(x_p, x_q) = \|x_p - x_q\|, \forall x_p, x_q \in S$$

. Intensitatea luminoasă scade odată cu creșterea distanței. Foarte important în cadrul algoritmului este modelul folosit pentru a exprima intensitatea luminoasă percepută de licurici. Un model propus de biologii care au studiat comportamentul licuricilor este următorul:

$$\beta_{p,q} = I_0 \exp[-\gamma d^2(x_p, x_q)] = I_0 \exp[-\gamma \|x_p - x_q\|^2], \forall x_p, x_q \in S \quad (4.2)$$

În ecuația (4.2),  $I_0$  reprezintă intensitatea luminoasă relativă ideală, în condițiile unei distanțe nule dintre 2 licurici. Se va alege valoarea  $I_0 = 1$ .

Parametrul  $\gamma$  este unul de importanță majoră, acesta reprezentând un factor cheie în influențarea vitezei de convergență. Deși  $\gamma$  poate varia între  $[0, \infty]$ , se va alege intervalul  $[0, \phi_s]$ , unde  $\phi_s = \sup_{x,y \in S} d(x, y)$ . Adică, se va ține cont de diametrul spațiului de căutare. Aceasta poate fi, însă, neregulat în dimensiune, spre exemplu  $S = [0, 20] \times [0, 50] \times [0, 80]$ . Astfel se va ține cont pe fiecare axă în parte de intervalul în care pot varia parametrii.

Acest parametru trebuie ales cu grijă, deoarece el determină influența celorlalți licurici asupra licuriciului curent. În cazul unei valori prea mari, spre  $\infty$ , algoritmul cu licurici devine asemănător Monte-Carlo.

În timpul zborului spre licuriciul mai strălucitor, licuriciul curent poate percep alte surse de lumină, de la alți licurici și își poate schimba direcția în funcție de intensitatea luminoasă acestora. Puterea acestor influențe este cuantificată cu ajutorul factorului  $\alpha^k \in [0, 1]$ . Cu cât mai mare acest termen, cu atât mai predispus licuriciul la schimbarea direcției. Direcția perturbatoare este reprezentată prin  $\zeta^k \in [0, \phi_s]^{nx}$ .

Componentele vectorului ce dă direcția perturbatoare sunt selectate aleator, pe baza unei distribuții de probabilitate  $\mathbf{p}$ , în funcție de comportamentul roiiui. Componentele vor fi determinate în intervalul  $[0, \sigma_i]$ , cu probabilități determinate de  $\mathbf{p}$ .

O posibilă distribuție de probabilitate, care se potrivește bine comportamentului licuricilor, se numește distribuția lui Levy:

$$\mathbf{p}(u) = u^{-\lambda}, \forall u \in \mathbf{R} \quad (4.3)$$

Cu valoarea recomandată pentru  $\lambda = 1.5$

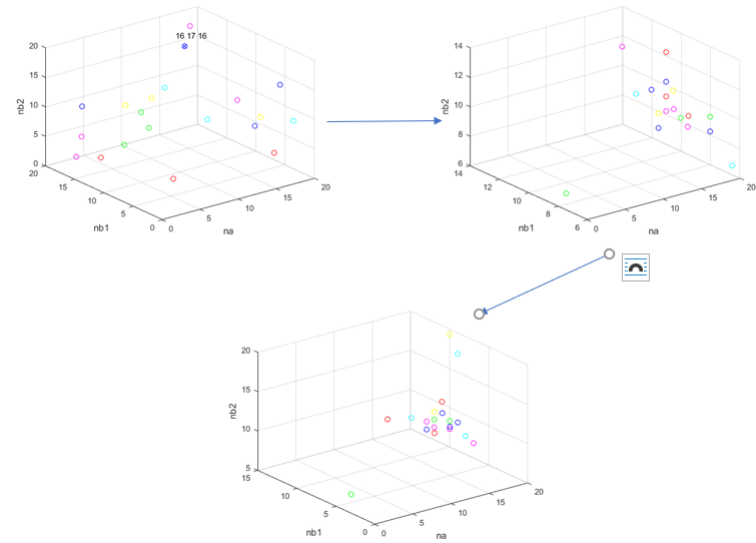


Figure 4.2: Poziția licuricilor

Se dorește evitarea numărului mare de indivizi care trebuie făcuți valizi (readuși în spațiul de căutare în cazul în care au picat în afară). Dacă acest procedeu trebuie aplicat de prea multe ori, atunci procedura poate deveni asemănătoare unui proces de căutare Monte-Carlo [7]. Se pierde strategia de căutare, licuricii începând să aibă o mișcare browniană.

Licuricii nu pot fi blocați în aceeași poziție indiferent de strălucire, un licurici putând să părăsească chiar și cea mai bună poziție întâlnită. Astfel, soluția optimă nu este neapărat indicată de poziția finală licuricilor, ci mai degrabă, este o soluție întâlnită de unul din licurici pe drumul său.

La finalul algoritmului licuricii tend să se aglomereze într-una sau mai multe zone ale spațiului de căutare, după cum se poate observa și în figura (4.2).

### 4.3 Algoritm genetic

Un algoritm genetic [7], prima dată menționat de către John Holland în 1975 reprezintă o tehnică de simulare a proceselor naturale de evoluție și adaptare specifice sistemelor biologice.

Tehnica de optimizare bazată pe algoritmi genetici presupune imitarea unei populații și simulează în mod naiv evoluția acesteia de la o generație la alta în cadrul unui mediu, în cazul nostru, **spațiul de căutare**. Algoritmul încearcă să emuleze ideea de evoluție, astfel de la o generație la alta indivizi din ce în ce mai capabili să facă parte din populație. Capabilitatea unui individ este exprimată sub forma conceptului de fitness.

Conceptul de **fitness** este considerat măsura fertilității și capacitații a unui individ în cadrul populației, acesta justificând prezența și utilizarea individului în cadrul mecanismului de selecție naturală.

În cadrul optimizării pe baza algoritmilor genetici este folosit principiul celui mai capabil supraviețuitor. De asemenea, se promovează ideea de schimb aleator de informație, construindu-se astfel un proces de evoluție care folosește în același timp tehnici de explorare cât și de exploatare a spațiului de căutare.

În contextul algoritmilor genetici, populația este formată din indivizi care reprezintă fiecare în parte o posibilă soluție a problemei granulare de optimizare ce trebuie rezolvată. Un cromozom este compus din gene care pot lua diferite valori și care pot fi grupați în alele. De exemplu, un cromozom poate fi format din gene care să reprezinte o codificare binară.

În (4.3) este prezentată structura generală a algoritmului genetic. Etapele principale vor fi descrise în cele ce urmează.

**Operațiile genetice**, 3 la număr, sunt mecanismele prin care se poate explora sau exploata spațiul de căutare. În urma operațiilor de **încrucișare**, **mutație** și **inversiune** se obțin indivizi noi din spațiul de căutare.

**Încrucișarea** (4.4) este operația genetică care are loc între doi indivizi și presupune schimbul de informație genetică între aceștia pentru a crea doi moștenitori.

Moștenitorii vor avea părți din genele ambilor părinți combinate sub diferite forme. De exemplu, cei doi indivizi implicați în operația de încrucișare pot schimba între ei părți din codificarea lor genetică pe baza unor pivoți și lungimi. O generalizare a procesului de combinare este realizată cu ajutorul unei maști care indică ce biți vor fi schimbați între ei de către cei de părinți, după cum este prezentat mai jos:

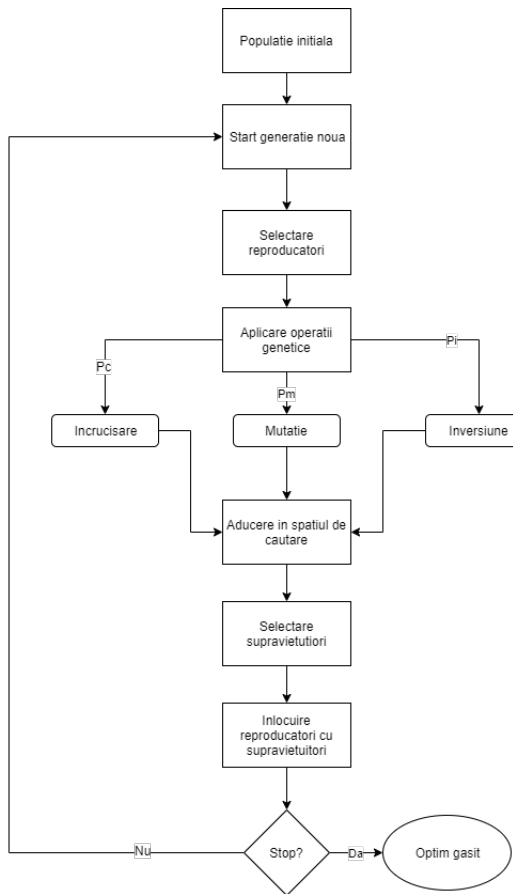


Figure 4.3: Structura generală a AG [7]

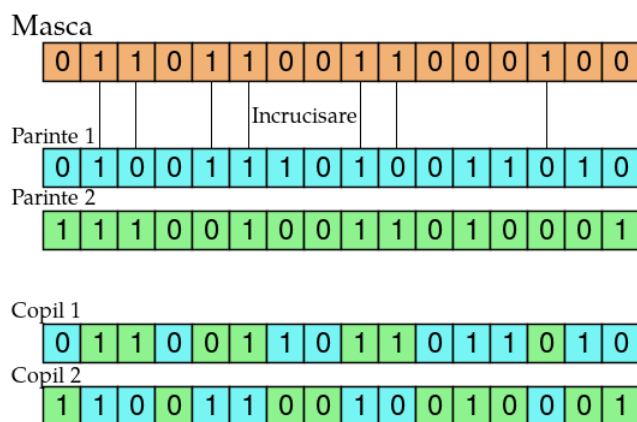


Figure 4.4: Operația de încrușisare

**Mutăția** (4.5) reprezintă schimbarea aleatoare a unor alele din cadrul unui cromozom. Scopul acesteia este de păstra o oarecare diversitate în cadrul populației,

moștenitorul rezultat fiind de cele mai multe ori mai puțin capabil decât părintele.

Mutația este, deci, unul din mecanismele care promovează procesul de explorare al spațiului de căutare, prevenind împotmolirea procesului de căutare în zonele de maxim local. Pe de altă parte, un număr prea mare de mutații poate duce la o explorare prea intensă a spațiului de căutare, rezultând într-un comportament oscilator al procesului de căutare.

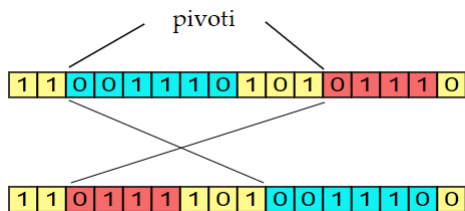


Figure 4.5: Operația de mutație

**Inversiunea** (4.6) este operația prin care o parte din cromozom își va schimba proprietățile, astfel încât, pe baza unui pivot și a unei lungimi, o parte din cromozom va fi inversată.

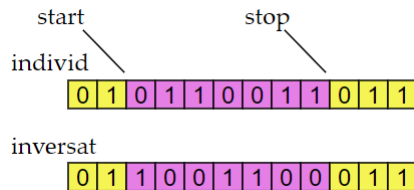


Figure 4.6: Operația de inversiune

Inversiunea se poate realiza prin schimbarea sensului secvenței de interes din cromozom sau prin inversarea fiecărui bit din codificarea genetică a secvenței, după cum se poate observa în (4.6).

În multe publicații operația de inversiune este considerată comună cu mutația, rezultatul acesteia fiind tot un mutant. Mutanții au rolul foarte important de a preveni blocajul procesului de căutare și aglomerarea în jurul unor puncte de optim local. **Incrucișarea** reprezintă motorul evoluției, prin această metodă obținându-se moștenitori mai buni decât indivizii implicați în operație. Este necesară găsirea unui echilibru în utilizarea celor 3 operațiilor în scopul evitării pe de o parte a blocajului în diferite subspații și o evoluție oscilatoare a populației, pe de altă parte.

Un aspect foarte important de care trebuie ținut cont în urma operațiilor genetice menționate este **viabilitatea** moștenitorilor. Se pot obține indivizi care să

nu aparțină spațiului de căutare prin aplicarea operațiilor. Este necesară corectarea acestor indivizi și aducerea lor înapoi în spațiul de căutare valabil. Se pot aplica operații de tip *modulo* asupra genelor cromozomului pentru a ne asigura ca indivizii noi sunt viabili.

În cadrul algoritmilor genetici există două etape de selecție: **selecția reproducătorilor și selecția pentru supraviețuire**.

**Selecția reproducătorilor** presupune alegerea din populația disponibilă în generația curentă a acelor indivizi asupra căror se vor aplica operațiile genetice. Maniera în care sunt aleși reproducătorii poate fi decisivă cu privire la convergența algoritmului. O selecție prea **strictă** poate duce la o populație dominată de indivizi din aceeași subspații, diversitatea fiind redusă. Dacă criteriul pe baza căruia se realizează selecția este prea **permisiv**, populația devine puternic împrăștiată, iar evoluția către optim devine prea lentă.

Există mai multe proceduri prin care se poate realiza selecția reproducătorilor: selecție după fitness, selecție pe baza legii lui Boltzmann, selecție pe baza clasamentului. În această lucrare se va folosi **selecția prin competiție** pentru alegerea indivizilor implicați în operațiile de reproducere.

Pașii metodei de selecție prin competiție sunt următorii:

- Se alege un număr  $N_r \leq N$  de poziții vacante care vor fi puse la bătaie. Fiecare poziție va avea un parametru  $\eta \in [0, 1]$  atribuit
- Pentru fiecare poziție:
  - Se vor alege doi competitori în mod aleator din populație  $x \in \mathcal{P}, y \in \mathcal{P}$
  - Se va calcula fitness-ul fiecărui competitor
  - Se va genera în mod aleator, pe baza unei distribuții uniforme de probabilitate, un număr  $v \in [0, 1]$
  - Dacă  $v \geq \eta$ , poziția va fi ocupată de individul mai capabil. Individul mai slab va fi cel care va ocupa poziția disponibilă în caz contrar.
  - După participarea la competiție, cei 2 indivizi se întorc în populație pentru a putea fi aleși din nou

Mai departe, în urma aplicării tuturor operațiilor genetice asupra indivizilor selectați pentru reproducere, rezultă un grup prea mare de cromozomi care trebuie introduși înapoi în populație. Mutarea și inversiunea se aplică asupra unui singur individ și se obține un moștenitor. Încrucișarea se realizează între doi părinți, rezultând doi noi copii.

Prin urmare, se pune problema selectării indivizilor **supraviețuitori** din grupul astfel format. Există mai multe modalități de realizare a acestei selecții, cea folosită în această lucrare fiind **selecția elitist-generațională**. Aceasta presupune selectarea supraviețuitorilor direct din grupul format în urma aplicării operației genetice, alcătuit

din indivizii reproducători și moștenitorii lor.

În urma mai multor generații populația ar trebui să fie distribuită în câteva subspații de căutare în care se realizează exploatarea, păstrând, totodată, câțiva indivizi exploratori în diferite zone (4.7).

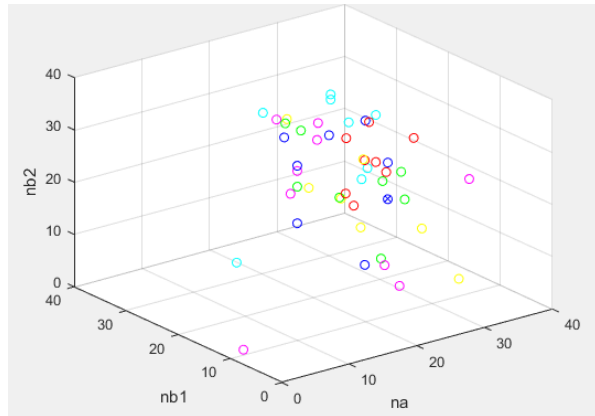


Figure 4.7: Populație AG

## 5 Control PID optimal metaeuristic

În această etapă se urmărește proiectarea unei legi de control în buclă închisă care să ducă la îndeplinirea unor condiții de performanță, anume asigurarea unor valori reduse ale suprareglajului și subreglajului, odată cu reducerea timpului de creștere și a timpului tranzitoriu. Acești indicatori de performanță vor fi analizați în cazul răspunsului în buclă închisă la o referință de tip treaptă aplicată sistemului. Înainte de asigurarea acestor performanțe se dorește ca eroarea staționară să fie nulă. De asemenea, legea de control trebuie să permită rejecția perturbațiilor externe, fără solicitarea peste măsură a elementelor de acționare.

Schema generală a unui sistem de control în buclă închisă este prezentată în (5.1).

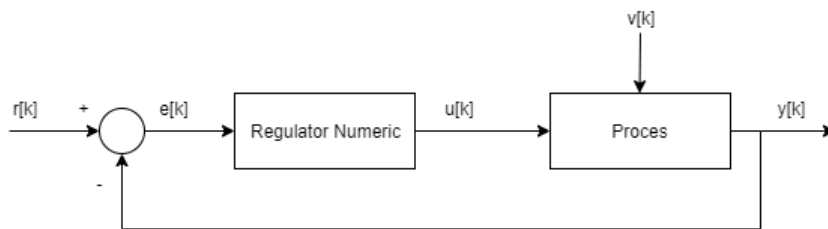


Figure 5.1: Schema de control în buclă închisă

Printre legile de control proiectate off-line se numără:

- legea de control de tip RST
- legea de control de tip PID - în varianta RST particularizat

### 5.1 Legea de control PID

Legea de control de tip PID [11] presupune calcularea la fiecare moment de eşantionare a valorii comenzi pe baza valorii erorii curente (componenta proporțională), erorii acumulate (componenta integrală) și a ratei de modificare a erorii (componenta derivativă).

$$u_k = K_R \left[ \epsilon_k + \frac{T}{T_i} \sum_{i=0}^k \epsilon_i + \frac{T_d}{T} (\epsilon_k - \epsilon_{k-1}) \right] + u_0 \quad (5.1)$$

Legea de control de tip **PID** poate fi scrisă ca o **particularizare** a legii de control de tip **RST**, în cadrul căreia polinoamele  $R[z^{-1}]$  și  $T[z^{-1}]$  sunt egale.

Schema de principiu a unui sistem de reglare bazat pe legea de control de tip RST este prezentată în figura (5.2).

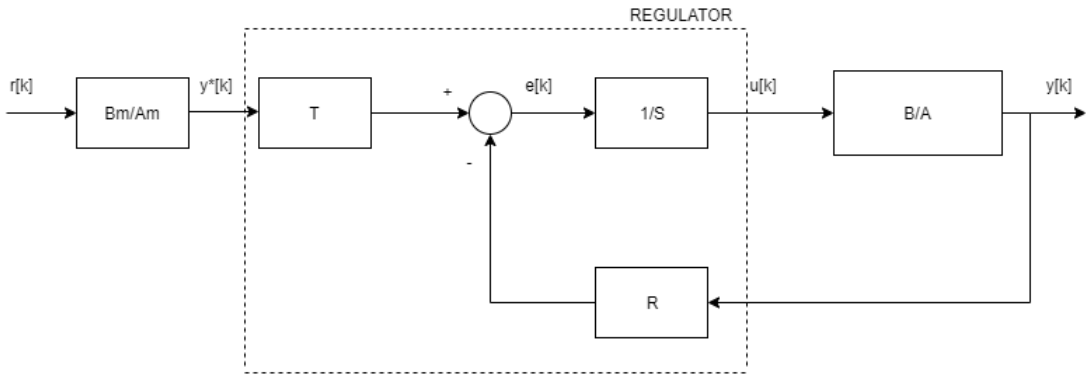


Figure 5.2: Schema de control RST

Schema de control PID obținută prin particularizarea RST [8] este cea pentru care:

$$\begin{cases} R(z^{-1}) = T(z^{-1}) = r_0 + r_1 z^{-1} + r_2 z^{-2} \equiv R_0(z^{-1}) \\ S(z^{-1}) = (1 - z^{-1})(1 + s_1 z^{-1}) \equiv S_0(z^{-1}) \end{cases} \quad (5.2)$$

Astfel, schema de control din (5.2) devine, pentru cazul regulatorului de tip PID, echivalentă cu cea din (5.3).

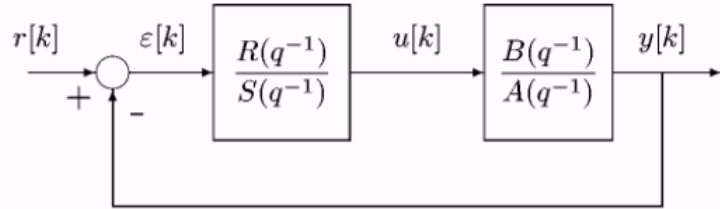


Figure 5.3: Schema de control PID

Formula legii de control **PID în varianta RST** este următoarea:

$$H_{PID}(s) \equiv K_R \left[ 1 + \frac{1}{T_i s} + \frac{T_d s}{\frac{T_d}{N} s + 1} \right] \quad (5.3)$$

Prin discretizarea acesteia cu perioada de eşantionare  $T = 1$ , folosind **metoda dreptunghiului**,  $\frac{1}{s} \approx \frac{T_e}{1-z^{-1}}$ , legea de control devine:

$$H_{PID}(z^{-1}) = K_R \left[ 1 + \frac{\frac{T_e}{T_i}}{1 - z^{-1}} + \frac{\frac{NT_d}{T_d+NT_e}(1 - z^{-1})}{1 - \frac{T_d}{T_d+NT_e}z^{-1}} \right] = \frac{R_0(z^{-1})}{S_0(z^{-1})} \quad (5.4)$$

Care poate fi rescrisă sub forma:

$$H_{PID}(z^{-1}) = \frac{q_2 z^{-2} + q_1 z^{-1} + q_0}{p_2 z^{-2} + p_1 z^{-1} + p_0} \quad (5.5)$$

Unde:

$$\begin{cases} q_2 = K_R \left( T_i + \frac{T_d}{N} + \frac{T}{2} + \frac{2(N+1)T_i T_d}{NT} \right) \\ q_1 = K_R \left( T - \frac{4(N+1)T_i T_d}{NT} \right) \\ q_0 = K_R \left( \frac{2(N+1)T_d T_i}{NT} - T_i - \frac{T_d}{N} + \frac{T}{2} \right) \\ p_2 = T_i + \frac{2T_i T_d}{NT} \\ p_1 = \frac{-4T_i T_d}{NT} \\ p_0 = \frac{2T_i T_d}{NT} - T_i \end{cases} \quad (5.6)$$

## 5.2 Determinarea parametrilor PID

Coeficienții celor două polinoame din (5.5) se calculează după cum este prezentat în (5.6). La rândul lor acești coeficienți depind de valorile celor 3 necunoscute,  $K_R, T_i, T_d$ , componentele proporțională, integratoare și derivativă. Perioada de eşantionare,  $T$  și constanta de filtrare,  $N$  nu sunt variabile. Astfel, calcularea regulatorului de tip PID care să asigure cel mai bun set de indicatori de performanță, odată cu urmărirea referinței și rejecția perturbațiilor se poate realiza în mai multe feluri. Identificarea procesului se va face folosind modele din clasa ARMAX, destul de complexe. Prin urmare, utilizarea metodelor convenționale de calculare a coeficienților regulatorului nu vor fi suficient de precise. Pentru a realiza optimizarea setului de parametri ai PID se va folosi algoritmul genetic prezentat în (4.3), cu modificările impuse de noul spațiu de căutare.

Adaptarea algoritmului genetic la această problemă de optimizare impune următorii pași:

- modificarea cromozomului - acesta trebuie să rețină valorile coeficienților regulatorului
- adaptarea conform cu pasul anterior a operațiilor genetice
- modificarea funcției de cost pentru a exploata cerințele de performanță
- modificarea parametrilor de configurare ai algoritmului - spațiul de căutare va fi semnificativ mai mare

Procesul fiind unul de tip MIMO cu două intrări, **cromozomul** va trebui să codifice informația pentru 2 regulatoare, deci vor exista 6 alele, câte 3 pentru fiecare regulator.

Fiecare alelă va reține informația pentru un coeficient și va fi reprezentată de un număr în baza 10, cu valoare în intervalul  $[0, 2^m - 1]$ , unde  $m$  reprezintă precizia căutării (numărul de biți ai unei alele). Astfel, lungimea unui cromozom va fi de **6m** biți.

Sir binar	Sir decimal
K <sub>r</sub> 100001011	267
T <sub>i</sub> 101001101	333
T <sub>d</sub> 111110100	500

Figure 5.4: Codificare parametri PID

Decodificarea parametrilor se face pe baza formulei:

$$x = x_{min} + val_{cromozom} \times \frac{x_{max} - x_{min}}{2^m - 1}$$

Astfel, în cazul valorilor din tabelul (5.4), pentru **m=9**:

$$K_R = 0 + 267 \times \frac{10 - 0}{511} = 5.22, K_R \in [0; 10]$$

$$T_i = 0 + 333 \times \frac{20 - 0}{511} = 13.03, T_i \in [0; 20]$$

$$T_d = 0 + 500 \times \frac{5 - 0}{511} = 4.89, T_d \in [0; 5]$$

În cazul nostru, se va alege pentru **m**, valoarea **6**, rezultând un cromozom alcătuit din **36 de biți**. Prin urmare, spațiul de căutare devine cu mult mai mare decât în cazul algoritmului genetic, coeficienții trebuind modificați corespunzător.

Astfel, mărimea populației devine **N = 120**, numărul de operații genetice **N<sub>go</sub> = 5N**, iar numărul maxim de generații **N<sub>g</sub> = 100**.

O modificare importantă este reprezentată de alegerea unei **funcții criteriu**. Evaluarea fitness-ului unui cromozom se realizează pe baza modelului identificat. După cum este ilustrat în schema de principiu din (5.5), sinteza regulatorului optimal se face cu ajutorul rezultatelor **stimulării cu treaptă a sistemului de reglare în buclă închisă**.

În calculul funcției criteriu se va ține cont de răspunsul sistemului de reglare la treaptă. Metodele convenționale folosite se bazează pe comparația acestui răspuns și a referinței (răspuns ideal). Printre aceste metode se numără:

- $ISE = \int_0^\infty e^2(t)dt$
- $IAE = \int_0^\infty |e(t)|dt$
- $ITSE = \int_0^\infty te^2(t)dt$

- $ITAE = \int_0^\infty t|e2(t)|dt$

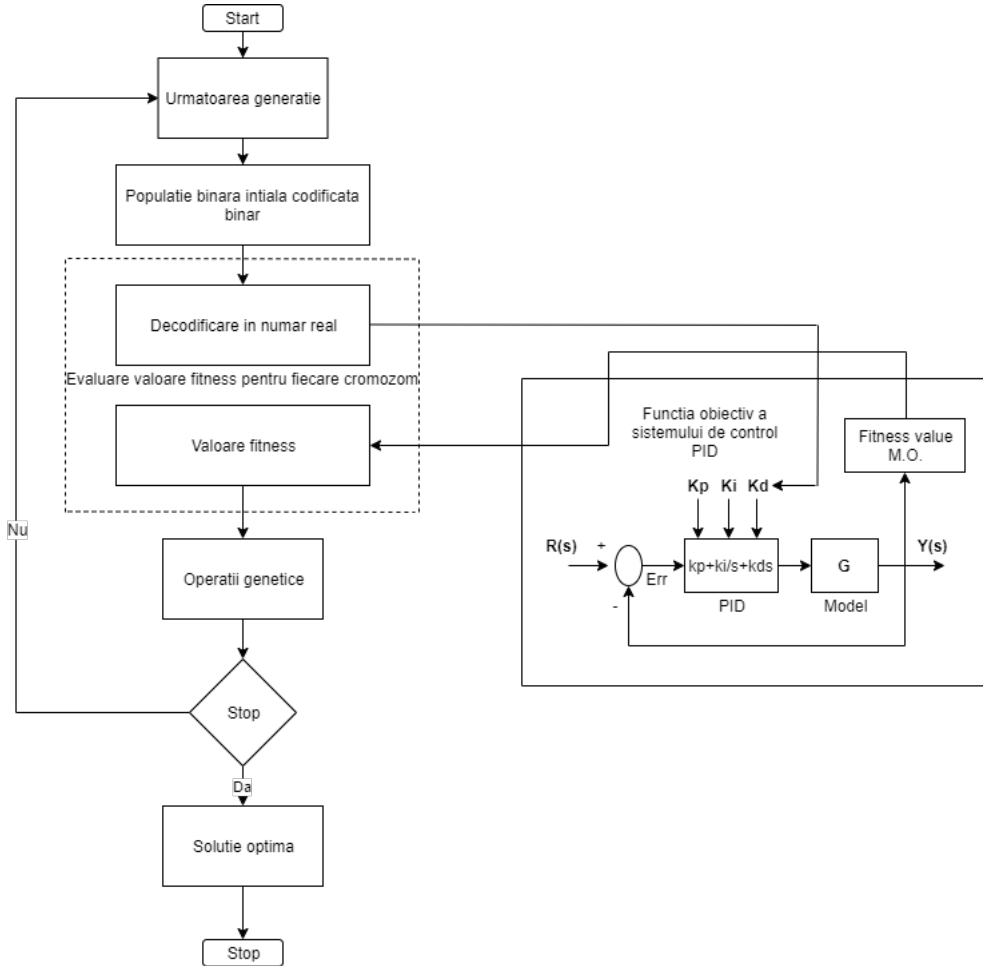


Figure 5.5: Schema de identificare a PID [4]

Din moment ce ne dorim să minimizăm eroarea, valoarea funcției criteriu va fi luată ca inversa valorii erorii (**indexul de performanță**), deoarece cromozomul va fi cu atât mai bun cu cât valorile indicatorilor de performanță vor fi mai mici, astfel se definește valoarea fitness-ului unui cromozom ca:  $fitness = \frac{1}{Indicatori}$ .

Pentru aplicațiile în care problemele de decizie impun optimizarea mai multor obiective, se poate apela la metode de optimizare multi-obiectiv, precum ponderarea obiectivelor:  $F(\mathbf{x}) = \sum_{i=1}^k w_i f_i(\mathbf{x})$ , unde ponderile  $w_i \in [0, 1]$  și  $\sum_{i=1}^k w_i = 1$ .

Conform [3], pentru optimizarea multi-obiectiv în cazul regulatoarelor PID se poate defini următoarea funcție obiectiv care să ia simultan în calcul valorile mai multor indicatori de performanță:

$$M.O. = w_1 * m_p + w_2 * t_s + w_3 * t_R \quad (5.7)$$

Unde,  $m_p$  - suprareglaj maxim,  $t_S$  - timp tranzitoriu,  $t_R$  - timp de creștere.

Alte funcții obiectiv se pot obține prin combinarea metodelor convenționale și optimizarea multi-obiectiv:  $F = w_1 * m_p + w_2 * MSE$

Fiind vorba de un sistem multivariabil, mai jos este prezentată schema de reglare care include cele două regulatoare PID folosite pentru controlul sistemului cu 2 intrări și două ieșiri (modelat prin intermediul a patru modele ARX).

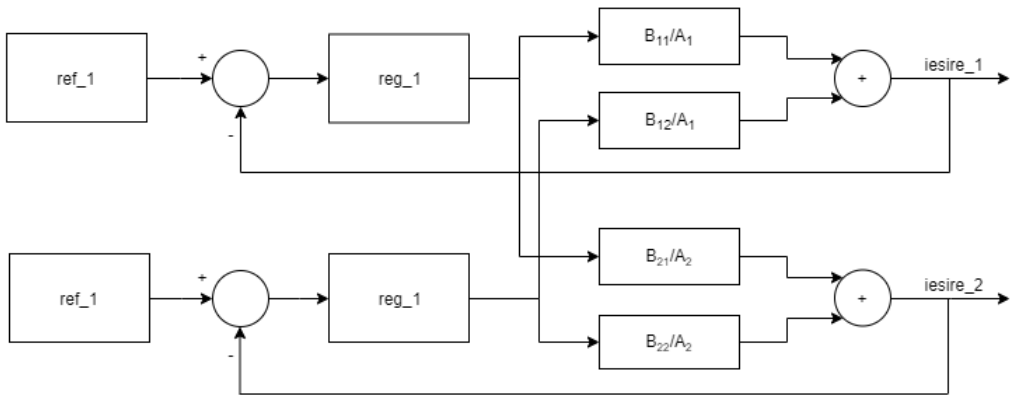


Figure 5.6: Schema de control multivariabil

## 6 Aplicație

### 6.1 Identificarea modelului

Înainte de a implementa algoritmii de căutare a indicilor structurali optimi în scopul estimării cât mai precise a procesului, au fost pregătite seturile de date pe baza cărora se va realiza acest proces. Au fost achiziționate seturi de date intrare-iesire, corespunzatoare menținerii unei tensiuni constante asupra pompei principale și variind tensiunile pe cele două electro-valve. S-au achiziționat 700 de esantioane pentru identificare și tot atatea pentru validare, cu o perioadă de esantionare de  $T_s=1s$ . Setul de date de identificare cuprinde:

- două semnale de intrare  $u_1, u_2$ , reprezentând variația tensiunilor pe cele două electro-valve
- două semnale de ieșire,  $y_1, y_2$ , reprezentând nivelurile de apă din cele două rezervoare

Similar se construiește și setul de date de validare, cu mențiunea că cele două semnale de intrare pot fi inverseate între ele, pentru obținerea unui set de validare diferit de cel de identificare. Valorile tensiunii aplicate celor două electro-valve sunt cuprinse între 5V și 10V. Tensiunea aplicată asupra pompei principale este constantă și are valoarea de 9V.

#### 6.1.1 Semnalul de stimul și datele de identificare

Etapa de stimulare a procesului cu semnalul de intrare în vederea construirii datelor de identificare și validare în funcție de care se va realiza identificarea și estimarea modelului matematic are o importanță majoră. Apropierea modelului matematic estimat va fi limitată de precizia datelor de identificare oferite.

Astfel, este nevoie ca procesul să fie stimulat cu semnale care să surprindă cât mai exact dinamica acestuia. Trebuie identificate clasele de perturbații la care este supus procesul și clasele de semnale acceptate de către proces. De exemplu, modelul poate fi determinat prin stimularea procesului cu semnale folosite în exploatarea sa uzuală, ceea ce ar conduce la o generalitate redusă modelului rezultat.

Alegerea semnalului de stimul se face astfel încât ordinul de persistență al acestuia să fie suficient de mare. Ordinul de persistență al unui semnal este cel mult egal cu perioada acestuia. Ideal, semnalul de intrare trebuie să fie unul de tip zgomot alb(neimplementabil). O soluție implementabilă care presupune crearea unui semnal de stimul cu periodicitate (implicit, ordin de persistență) suficient de mare este SPA(B) - semnal pseudo-aleator (binar). Aceasta presupune varierea între anumite valori (numărul lor fiind dat de rezoluția semnalului) în manieră pseudo-aleatoare, astfel încât să se maximizeze perioada semnalului.

Este binecunoscut că semnalul de tip treapta oferă informații utile cu privire la comportamentul tranzitoriu al procesului, însă nu este folosit ca semnal de stimул pentru crearea datelor de identificare, deoarece se pierd informații despre proces, treapta având ordinul de persistentă 1.

Prin urmare, am folosit pentru generarea semnalelor de comanda  $u_1$  și  $u_2$  semnale de tip SPA, cu paliere de lungime variabilă, pentru a surprinde cât mai multe combinații diferite de perechi de tensiuni pe cele două electro-valve. Semnalele de comandă generate se pot observa în (6.1) și (6.2).

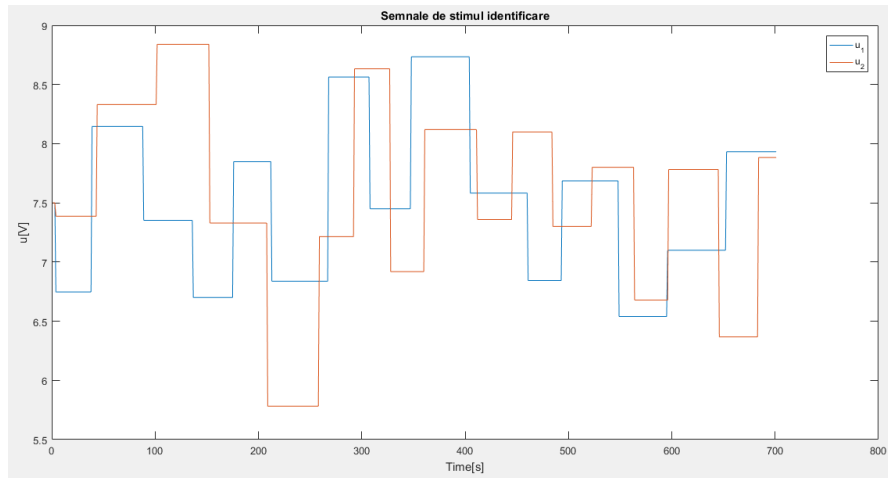


Figure 6.1: Semnalele de stimul pentru datele de identificare

Alegerea perioadei de eşantionare se face în funcție de dinamica procesului care, în cazul ASTANK2 este lentă și în funcție de frecvența de tăiere. Conform **Teoremei de Eşantionare Kotel'nikov-Shannon-Nyquist**, frecvența de eşantionare minimă este egală cu dublul frecvenței de tăiere.

$$F_s = \frac{1}{T_s} \geq F_{NYQ} = 2F_c = \frac{\Omega_c}{\pi} \quad (6.1)$$

Dacă frecvența de eşantionare este prea mică apare riscul pierderii de informație, dinamica neputând fi surprinsă întru totul.

Pe de altă parte, dacă frecvența de eşantionare este aleasă incorrect, există riscul distorsionării informației din cauza fenomenului de **aliasing**.

Pentru setul de date de identificare și validare, a fost aleasă perioada de eşantionare  $T_e = 1s$ .

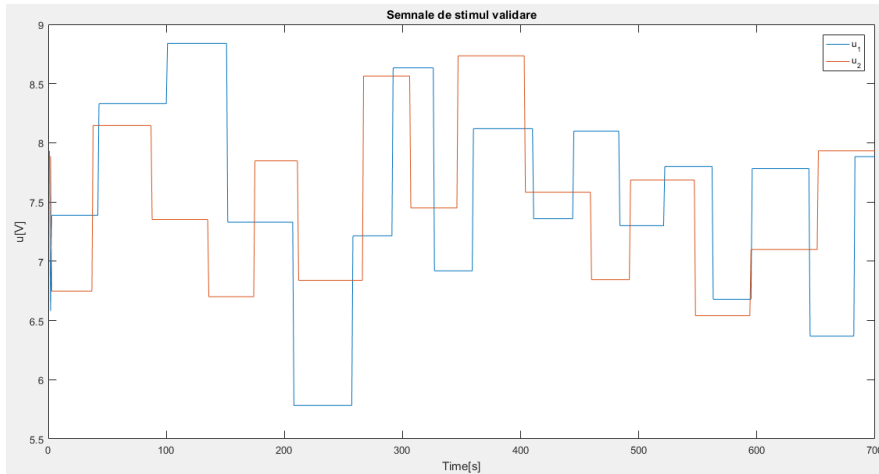


Figure 6.2: Semnalele de stimul pentru datele de valdiare

### 6.1.2 Funcția fitness

Fiind stabilită structura modelului parametric ce trebuie identificat, cu partea utilă:

$$\begin{cases} A_1(q^{-1})y_1[n] = B_{11}(q^{-1})u_1[n] + B_{12}(q^{-1})u_2[n] + v_1[n] \\ A_2(q^{-1})y_2[n] = B_{21}(q^{-1})u_1[n] + B_{22}(q^{-1})u_2[n] + v_2[n] \end{cases} \quad \forall n \in \overline{1, N} \quad (6.2)$$

După cum a fost prezentat în 3.2, zgomotul colorat rezidual  $v_r[n] = y[n] - y_{ARX}[n]$  va fi identificat cu ajutorul unui model ARMA:

$$\begin{cases} v_{r1}[n] = \frac{C_1(q^{-1})}{D_1(q^{-1})}e_1[n] \\ E\{e_1[n]e_1[m]\} = \lambda^2\delta_0[n-m] \\ v_{r2}[n] = \frac{C_2(q^{-1})}{D_2(q^{-1})}e_2[n] \\ E\{e_2[n]e_2[m]\} = \lambda^2\delta_0[n-m] \end{cases} \quad \forall n, m \in \overline{1, N} \quad (6.3)$$

Se modelează sistemul **MIMO 2x2** ca 2 sisteme de tip **MISO 2x1** separate, sub forma parametrică prezentată mai sus. Trebuie realizată identificarea separată a celor 2 modele, pentru fiecare ieșire îndeapta.

Identificarea uneia dintre modele se realizează, de asemenea, în 2 etape:

- Identificarea funcției de transfer a **părții utile**: polinoamele **B** și **A**
- Identificarea **filtrului de zgomot**: polinoamele **C** și **D**

Obiectivul etapei de identificare este găsirea acelor polinoame menționate în (6.2) care să filtreze semnalul de stimul și perturbația astfel încât să fie obținută o ieșire globală care să fie cât mai asemănătoare cu ieșirea reală a procesului stimulat cu

același semnal ca și modelul de identificare.

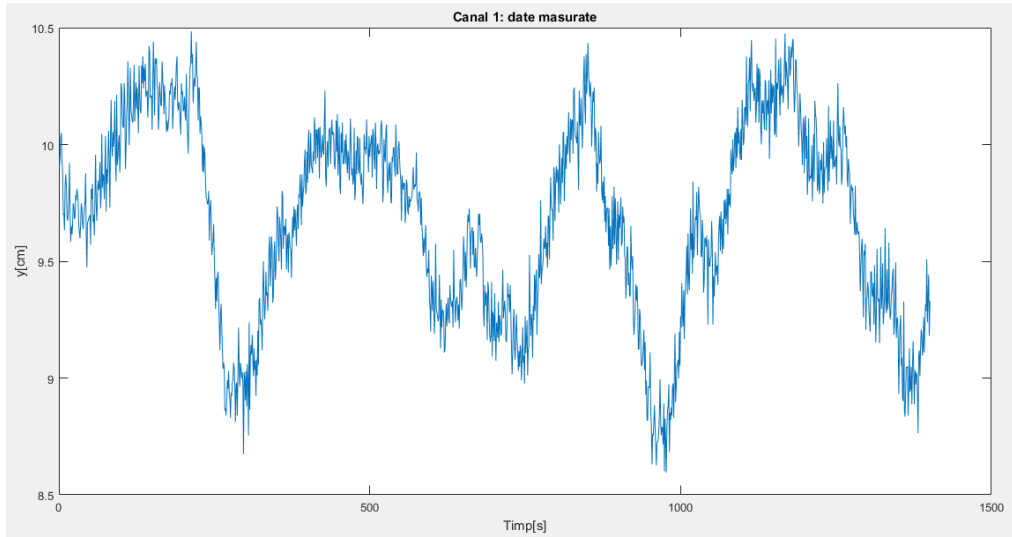


Figure 6.3: Nivelul măsurat din bazinul 1

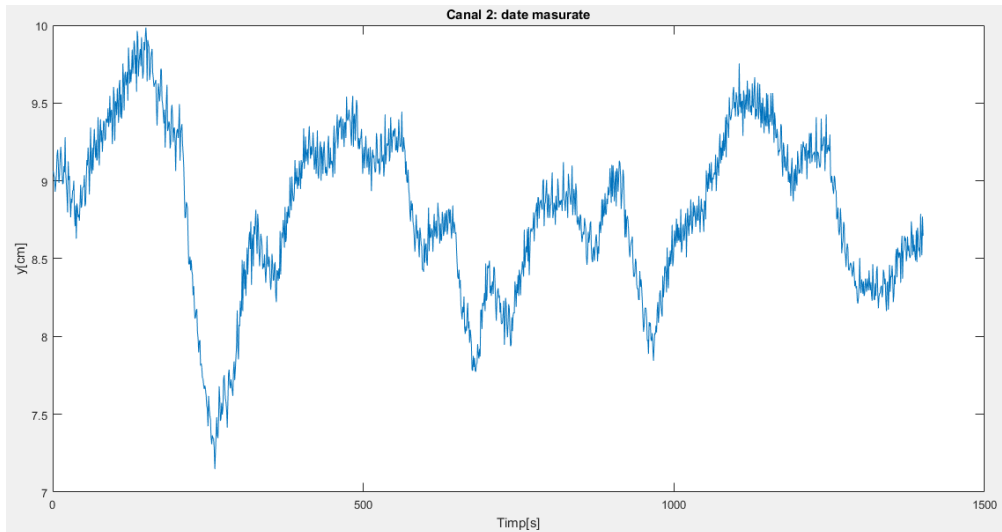


Figure 6.4: Nivelul măsurat din bazinul 2

Ne dorim cu precădere să minimizăm eroarea dintre nivelului măsurat și partea utilă ieșirii simulate. Astfel, împărțirea pe etape a procesului de identificare este cea corectă, realizând identificarea filtrului de zgomot doar după ce funcția de sistem a părții utile a fost identificată iar valoarea SNR calculat cu ieșirea măsurată stationarizata și eroarea de predicție a fost maximizată.

În condițiile în care modelul de identificare este compus din partea de zgomot și partea utilă se pune problema identificării unui singur model de tip ARMAX cu min-

imizare globală erorii de predicție. Această abordare s-a dovedit a fi greșită deoarece, deși valoarea SNR globală era maximizată, extrăgând din răspuns partea utilă s-a putut observa că valoarea SNR a acestuia nu a fost maximizată (ilustrat în 6.5), deci eroarea de predicție dintre ieșirea măsurată și partea utilă a ieșirii modelului nu a fost minimizată. Acest lucru este ilustrat în următoarul grafic:

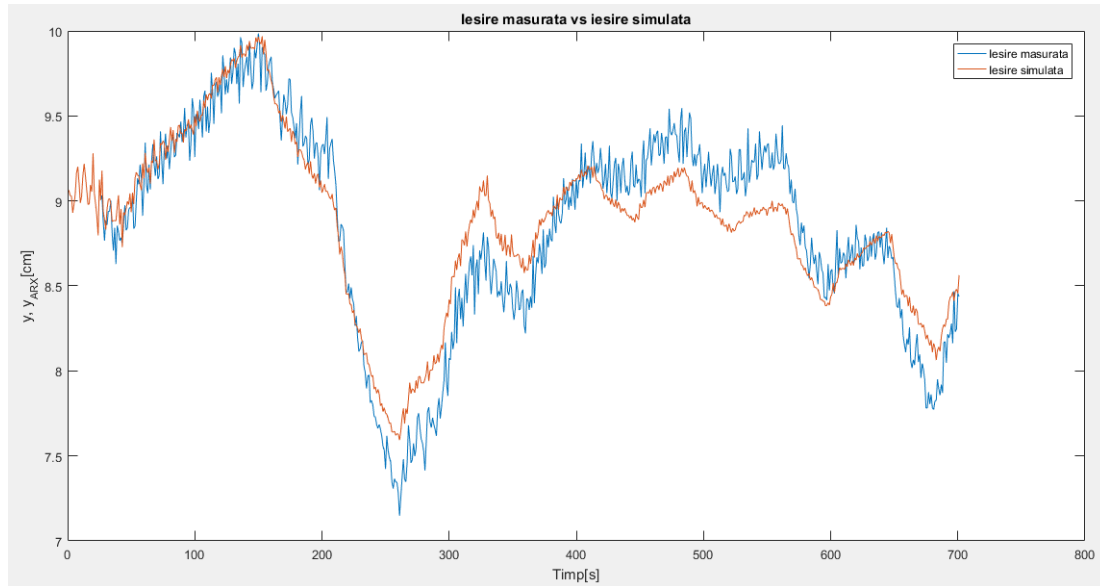


Figure 6.5: Date măsurate vs date simulate cu model ARX

Pentru răspunsul de mai sus, valoarea SNR pentru partea utilă este **6.4673 dB**. Se poate observa că eroarea de predicție este semnificativă. Cu toate acestea, SNR pentru întreg semnalul (inclusiv partea de zgomot) este **15.0003 dB**, o valoare mult mai mare. **Se poate concluziona că utilizarea unui model de tip ARMAX cu minimizare globală a erorii de predicție nu va conduce la un SNR mai bun pentru partea utilă a ieșirii.**

Prin urmare, identificarea modelului parametric din (6.2) se va realiza, după cum s-a precizat, în 2 etape. În ambele etape funcția criteriu are forma (definită în paragraful 3.3) :

$$f_{criteriu} = \alpha f_{ident} + (1 - \alpha) f_{valid}$$

$$f_{ident} = dB \left( \frac{\|y_{identificare}\|}{\|err_{identificare}\|} \right)$$

$$f_{valid} = dB \left( \frac{\|y_{validare}\|}{\|err_{validare}\|} \right)$$

Pentru termenul  $\alpha$ , s-a ales valoarea **0.5** pentru a oferi egală importanță setului de date de identificare și celui de validare. Valorile nivelurilor din (6.3) și (6.4) au fost separate în două seturi de dimensiuni egale. Pentru a realiza o identificare riguroasă, se dorește ca ieșirea simulată să se apropie cât mai mult de valoarea întreg semnalului

real, atât a părții de identificare cât și a celei de validare.

- **Identificarea părții utile**

În calcularea valorii SNR-ului se ține, eroarea de predicție pentru date de identificare se calculează ca diferența dintre ieșirea măsurată și ieșirea simulată cu modelul de identificare ARX, conform relațiilor din secțiunea 3.2:

$$A(q^{-1})y[n] = B_1(q^{-1})u_1[n] + B_2(q^{-1})u_2[n] + v_r[n]$$

Astfel,  $\text{err}_{\text{identificare}} = \mathbf{v}_r = \mathbf{y} - \mathbf{y}_{\text{ARX}}$ , unde  $\mathbf{y}_{\text{ARX}}$  este obținut conform ecuației 3.6.

- **Identificarea părții de zgromot**

$$D(q^{-1})v_r[n] = C(q^{-1})e[n]$$

Această etapă presupune căutarea polinoamelor **C** și **D** care să aproximeze cât mai bine eroarea de predicție de la etapa anterioară.

În această etapă:  $\text{err}_{\text{identificare}} = \hat{\mathbf{e}} = \mathbf{y} - \mathbf{y}_{\text{ARX}} - \mathbf{v}_{\text{ARMA}}$ , unde  $\mathbf{v}_{\text{ARMA}}$  este obținut conform ecuației 3.9.

### 6.1.3 Implementare algoritm genetic

S-a ales ca algoritmul genetic să fie implementat cu totul în cadrul acestei lucrări și să nu se folosească funcția **AG** din Matlab. Această decizie are fundamentul comparației dintre rezultatele obținute de această metaeuristică și metaeuristica prezentată în (4.2). De asemenea, pentru a studia mai bine diferențele metode de aplicare a operațiilor genetice sau de selecție a indivizilor pentru reproducere și pentru a oferi flexibilitate totală asupra comportamentului algoritmului s-a evitat folosirea rutinei deja implementate în suita oferită de Matlab.

După cum a fost precizat în (4.3), optimizarea folosind strategii evoluționare, precum este cazul algoritmilor genetici [7], presupune imitarea în mod naiv a proceselor de evoluție și dezvoltare întâlnite în natură.

Se pleacă de la o populație inițială de indivizi ce reprezintă posibile soluții ale problemei granulare de optimizare. Fiecare individ reprezintă un cromozom alcătuit din mai multe alele ce codifică anumită informație. În cazul problemei de căutare a setului optim de indici structurali, un cromozom va fi alcătuit dintr-un număr de alele ce reprezintă valoarea fiecărui din indicii structurali ai modelului parametric.

În cazul identificării modelului optim pentru partea utilă a sistemului, cromozomul va fi alcătuit din 3 alele, ce vor codifica valorile indicilor structurali **na**, **nb1** și **nb2**. Deși ne interesează doar partea utilă, valoarea parametrilor optimi ai polinoamelor **A**, **B<sub>1</sub>**, **B<sub>2</sub>** va fi obținută cu ajutorul funcției **armax** din cutia de instrumente de identificare a sistemelor din Matlab. Această funcție folosește **metoda minimizării**

**erorii de predicție** pentru a optimiza parametrii celor 4 polinoame. Pe noi ne interesează doar polinoamele implicate în transferul direct de la intrare la ieșire. S-a folosit valoarea 0 pentru coeficientului corespunzător indicelui structural **nc** - ordinul polinomului **C**. Așadar, s-a preferat căutarea modelului optim al părții utile într-un spațiu **3-dimensional**.

**Inițializarea algoritmului** se face în 3 etape:

- Stabilirea valorilor **parametrilor de configurare**
- Formarea unei **populații inițiale**
- Evaluare valoare **fitness** a fiecărui individ al populației inițiale

Printre **parametrii de configurare** cei mai importanți se numără:

- mărimea populației **N** - proporțională cu mărimea spațiului de căutare
- numărul de poziții vacante pentru grupul de reproducători - **Nr = 0.8N**
- numărul de operații genetice ce trebuie realizate la fiecare iteratăie  $N_{og} \in \overline{N, 6N}$
- probabilitatea efectuării fiecareia din operațiile genetice - **P<sub>c</sub>, P<sub>m</sub>, P<sub>i</sub>** - modificate pe parcursul rulării în următoarele intervale:  $P_c \in [0.5, 0.9]$ ,  $P_i = P_m \in [0.05, 0.25]$ .
- metodele de selecție pentru reproducere și supraviețuire
- numărul maxim de generații - **N<sub>g</sub>** - ales în funcție de mărimea spațiului de căutare
- factorul de supraviețuire - **S ∈ [2, 10]** - acesta scade odată cu trecerea iterațiilor

Valorile parametrilor menționați au fost alese conform literaturii de specialitate [7] și calibrate ulterior în urma câtorva încercări, pentru a asigura un compromis între viteza de convergență și precizia algoritmului.

Mărimea spațiului de căutare este dată de valorile maxime ale indicilor structurali:  $na_{max} X nb1_{max} X nb2_{max}$ . S-a ales mărimea populației algoritmului  $N \approx max\{na_{max}, nb1_{max}, nb2_{max}\}$ .

Inițializarea populației presupune alegerea în mod aleator a pozițiilor pe care să le ocupe indivizi în spațiul de căutare. Aceasta se realizează conform unei distribuții uniforme de probabilitate, fiind nevoie de un **U-PRSG**. Pentru a realiza acest lucru s-a folosit **algoritmul lui Baker** [7] de generare de numere aleatoare. Astfel, pentru fiecare indice structural, s-a generat o secvență aleatoare de numere din intervalul **[1, max]**, toate având aceeași probabilitate. Secvențele astfel obținute vor fi amestecate, pentru a genera fiecare cromozom în parte (conform 6.6).

na	2	1	5	9	4	7	3	6	10	8
nb1	3	1	10	8	4	2	7	6	5	9
nb2	2	4	5	3	7	1	9	8	10	6
nc	4	9	7	2	5	10	3	1	6	8

i1 i2 i3 i4 i5 i6 i7 i8 i9 i10

Figure 6.6: Inițializare uniformă a populației

Un exemplu de populație inițială generată cu ajutorul algoritmului lui Baker este următorul:

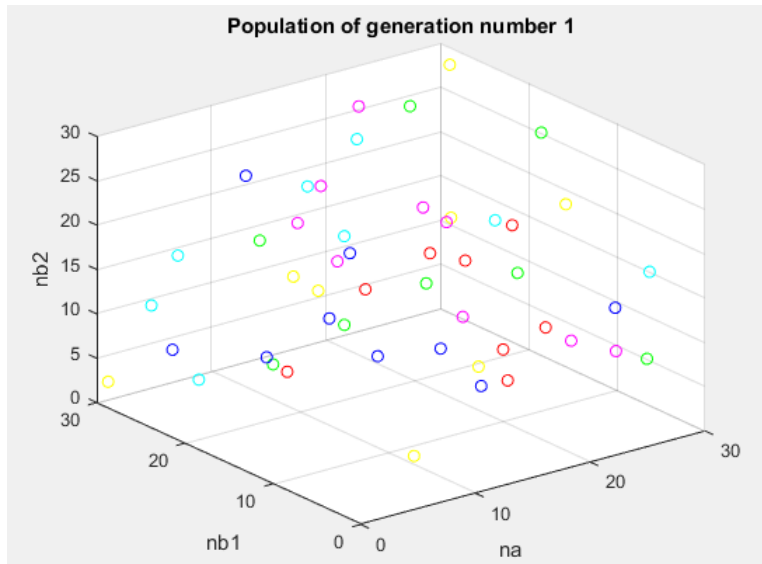


Figure 6.7: Indivizii primei populații

Calcularea valorii fitness-ului pentru fiecare individ în parte se face conform procedurii descrise în (6.1.2).

În acest moment poate începe procesul iterativ al algoritmului. O iterație reprezintă trecerea de la o generație la alta. O iterătie este alcătuită din următorii pași:

- calcularea valorii maxime a fitness-ului întâlnit în cadrul populației
- selectarea indivizilor participanți la operațiile de reproducere
- aplicarea operațiilor genetice asupra indivizilor selectați la etapa **2**, în diferite combinații
  - verificarea viabilității indivizilor noi formați
  - verificarea că indivizii noi pot fi adăugați în populație fără a introduce duplicate
  - calcularea fitness-ului noilor indivizi
- selecția supraviețuitorilor

- poziționarea moștenitorilor înapoi în populație
- verificarea condițiilor de **stop**

Procesul de selecție a indivizilor asupra cărora sunt aplicate operațiile genetice este realizat prin metoda **selecției prin competiție** [5]. Pentru fiecare poziție vacanță din grupul de reproducători procesul de selecție constă în alegerea din populația de indivizi a 2 competitori, pe baza unei distribuții uniforme de probabilitate. Fiecare poziție are asignată o valoare proprie  $\eta \in [0, 1]$ . Pentru competiția curentă se generează o valoare aleatoare  $v \in [0.5, 1]$ . Pe baza comparației dintre aceste valori, pierzătorul sau câștigătorul competiției este ales și trecut în grupul de reproducători. Individul participant care nu a fost ales este marcat în scopul interdicției de a mai concura până când nu au participat toți indivizii populației:

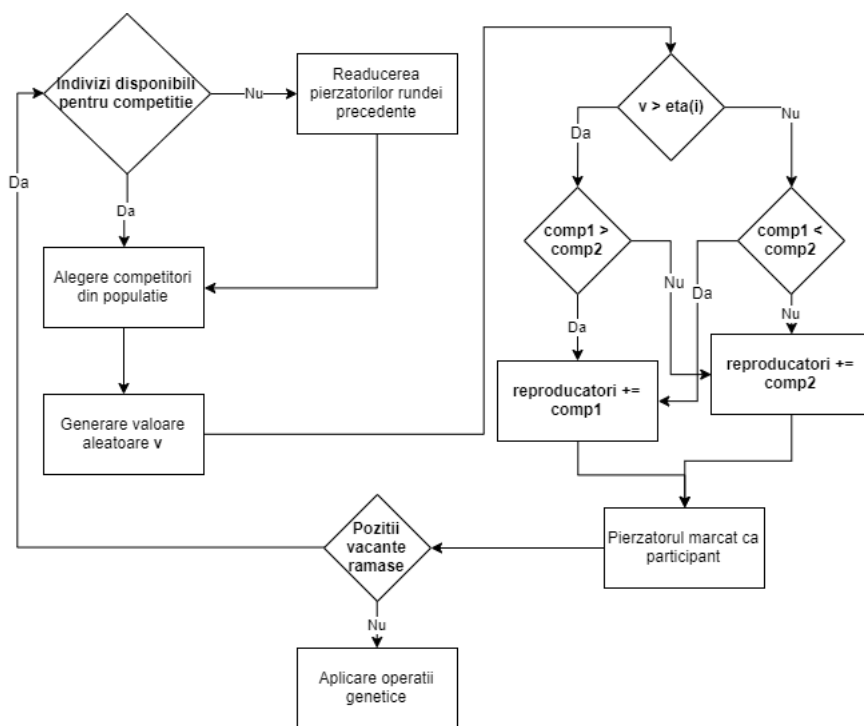


Figure 6.8: Selecția prin competiție

Mai departe, operațiile genetice prezentate în (4.3) sunt aplicate asupra indivizilor din grupul de reproducători format:

Se stabilesc probabilitățile aplicării fiecărei operații în parte:

$$P_c = \left[ \frac{\frac{i_{ter}}{5}}{10} \right]; P_m = \frac{1-P_c}{2}; P_i = P_m$$

Probabilitatea aplicării operației de încruzișare crește odată cu trecerea iterărilor pentru a promova exploatarea din ce în ce mai mult.

După stabilirea probabilităților se va aplica **algoritmul lui Baker** pentru a genera o secvență de operații genetice care să respecte distribuția de probabilitate pre-

scrisă anterior.

Pentru aplicarea operațiilor genetice se vor codifica binar alelele cromozomilor implicați. Am stabilit că alelele sunt reprezentate de valorile indicilor structurali în baza 10. Rezultatele operațiilor genetice vor fi secvențe binare pe care trebuie să le decodificăm pentru a obține valorile corespunzătoare în baza 10. Moștenitorii astfel obținuți vor fi făcuți viabili prin reposiționarea în spațiul de căutare (dacă au ieșit din limitele acestuia). Dacă indivizii cei noi nu sunt soluții deja existente în populația curentă va fi evaluată valoarea fitness-ului lor.

Următorul pas este întoarcerea celor mai capabili indivizi pentru generația următoare. Acest lucru se realizează prin alegerea celor mai buni 2 indivizi în urma fiecărei operații de încrucișare. Deoarece prin mutație și inversiune se obțin, de cele mai multe ori, indivizi mai puțin capabili, în urma aplicării acestor operații, individul mutant rezultat va fi returnat automat în populație, pentru a încuraja exploatarea.

Înainte de a trece la iterația următoare se va verifica dacă cel mai puternic individ este același sau nu. Testul de stop constă în verificarea dacă numărul maxim de iterații a fost atins sau dacă individul cel mai puternic a supraviețuit suficient de multe iterații fără să se fi găsit o soluție mai bună.

Rezultatele obținute în urma căutării setului de indici structurali într-un spațiu de căutare de dimensiune  $[na, nb_1, nb_2] = [30, 30, 30]$  și  $[nc, nd] = [100, 100]$  sunt prezentate pentru fiecare ieșire în parte. Sunt prezentate evoluția fitness-ului părții utile (6.9-prima ieșire și 6.13-a doua ieșire), graficul părții utile (6.10 și 6.14), graficul semnalului de ieșire total (parte utilă + parte de zgomot) (în 6.11 și 6.16) și zgomotul alb rezidual (6.12 și 6.15).

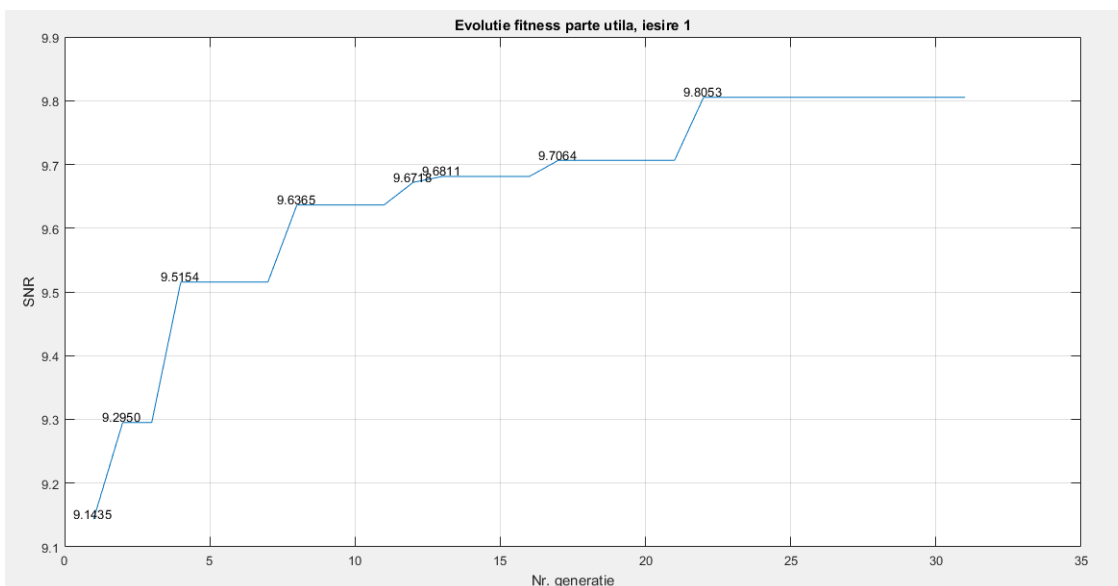


Figure 6.9: Evolutie fitness parte utilă ieșire 1

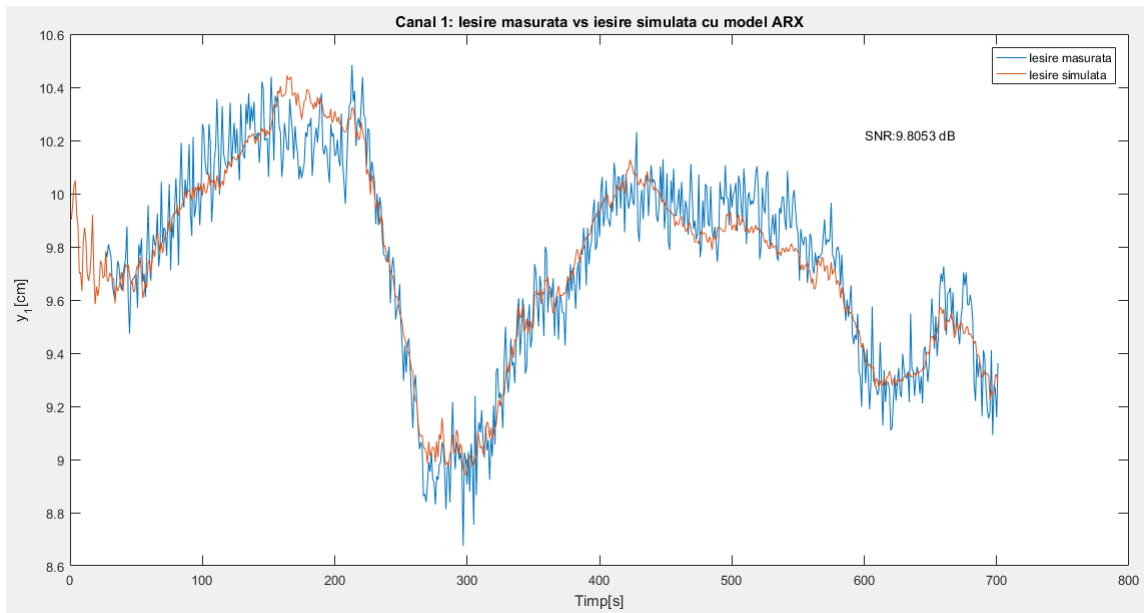


Figure 6.10: Canal 1: Ieșire măsurată vs ieșire simulată cu model ARX

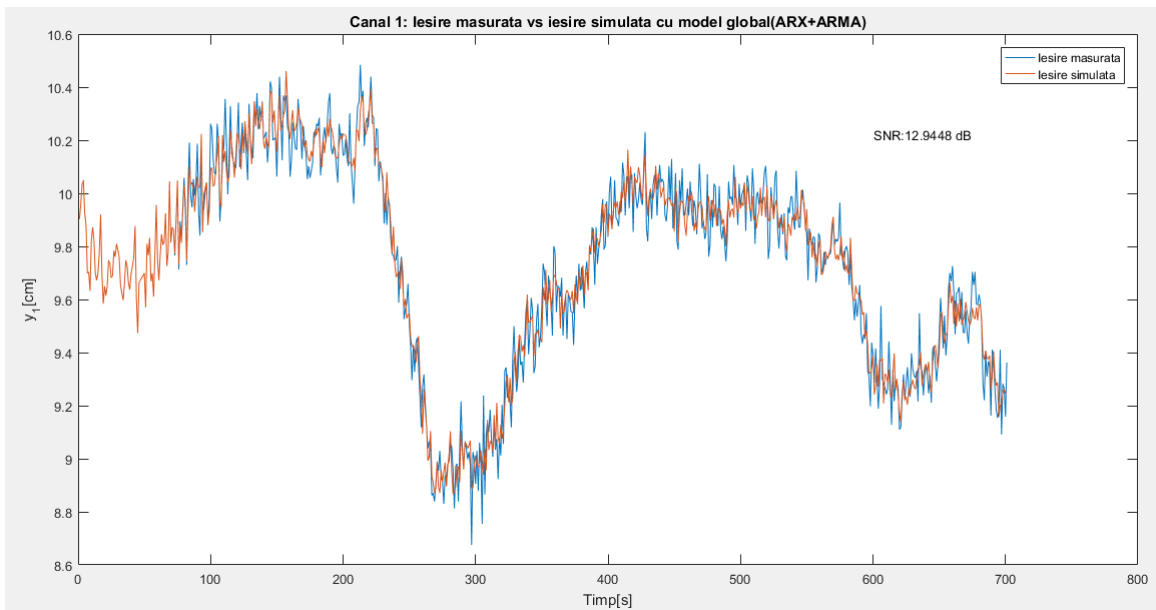


Figure 6.11: Canal 1: Ieșire măsurată vs ieșire simulată cu model global

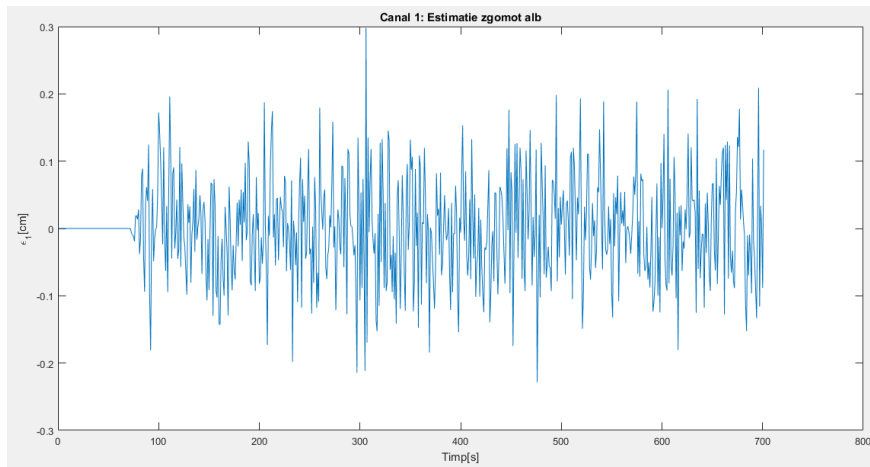


Figure 6.12: Zgomot alb rezidual ieșire 1

Algoritmul genetic a fost folosit pentru identificarea ambelor modele MISO. Indicii strucuturali ai filtrului de zgomot au fost determinați într-o manieră asemănătoare cu determinarea filtrului părții utile. Au fost obținute rezultatele prezentate în graficele (6.9), (6.10) și 6.11).

**SNR pentru partea utilă are valoarea 9.8053 dB, pentru setul de indici strucuturali [na=21 nb1=25 nb2=27]**

**SNR pentru întreg semnalul de ieșire simulat este 12.9448 dB, pentru setul de indici strucuturali [nd=96 nc=24]**

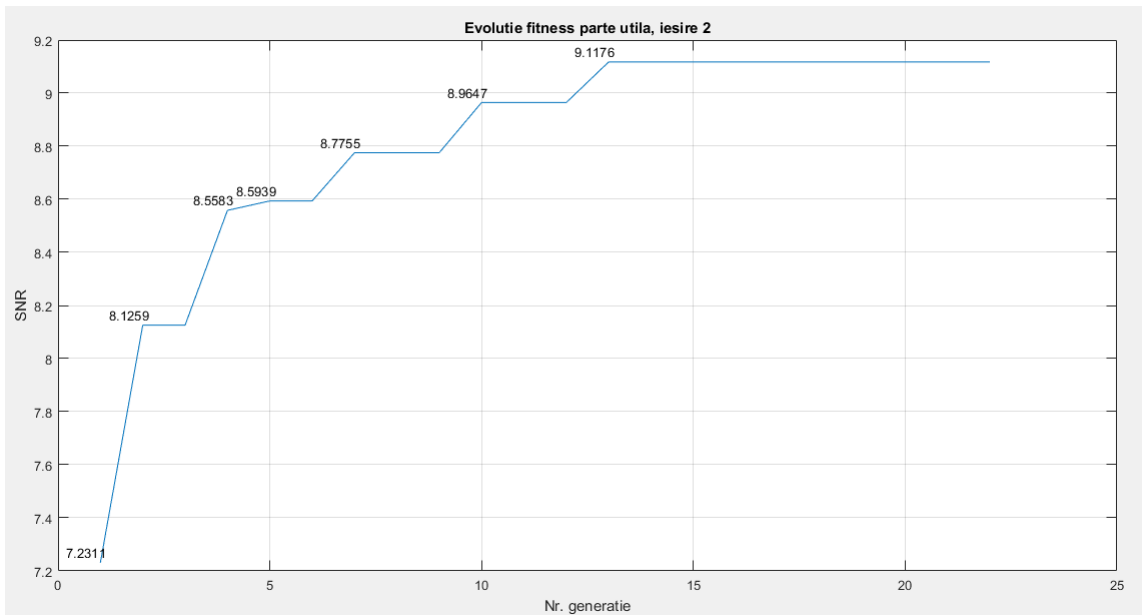


Figure 6.13: Evolutie fitness parte utilă ieșire 2

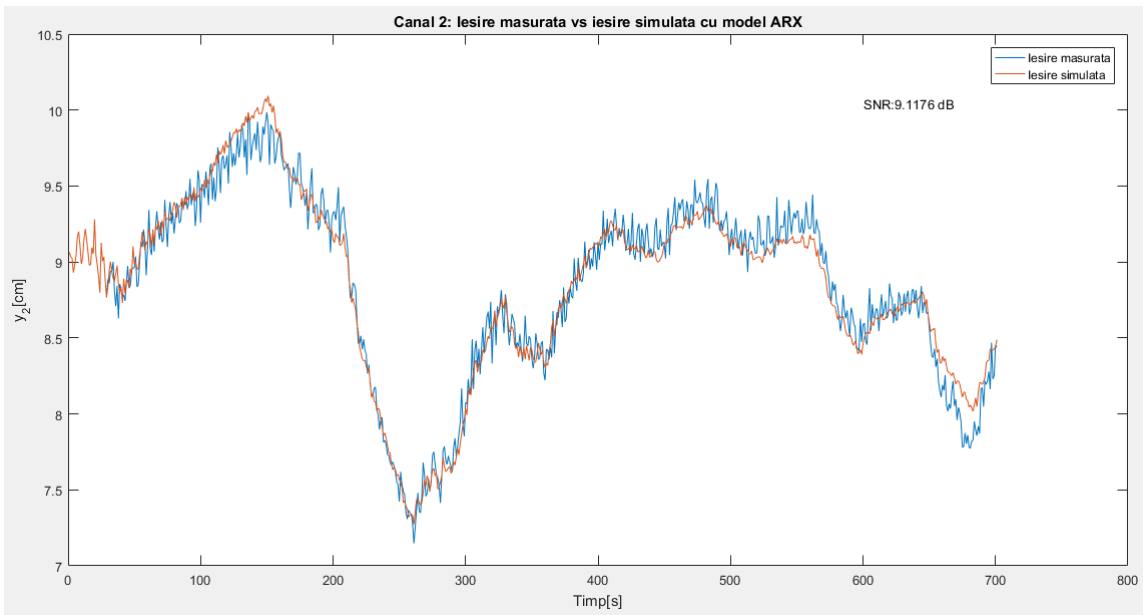


Figure 6.14: Canal 2: Ieșire măsurată vs ieșire simulată cu model ARX

Pentru ieșirea a două, procesul MISO de umplere al celui de-al doilea bazin, bazin ce prezintă forma trapezoidală, rezultatele identificării nu au fost la fel de bune, cel puțin pentru partea utilă a semnalului.

**SNR pentru partea utilă are valoarea 9.1176 dB, pentru setul de indici structurali [na=25 nb1=19 nb2=29]**

Pe de altă parte, acest bazin este mai puțin afectat de zgomote, astfel că semnalul total simulat are un SNR mai bun decât în cazul primului bazin.

**SNR pentru partea utilă are valoarea 15.1436 dB, pentru setul de indici structurali [nd=89 nc=9]**

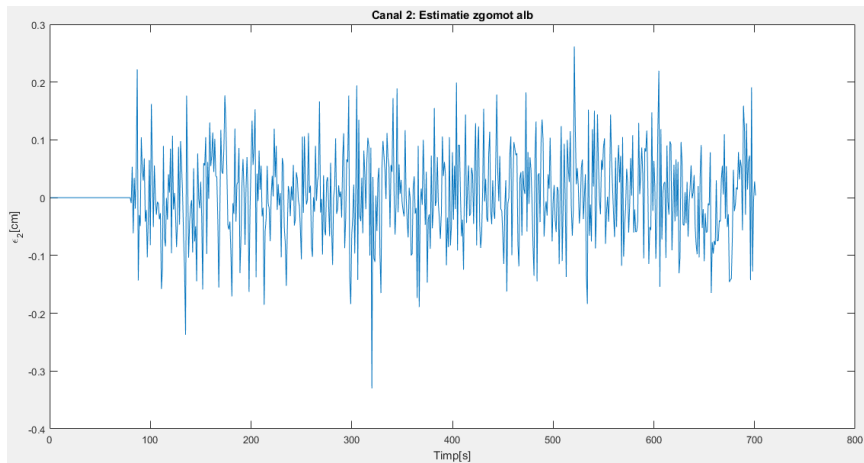


Figure 6.15: Zgomot alb rezidual ieșire 2

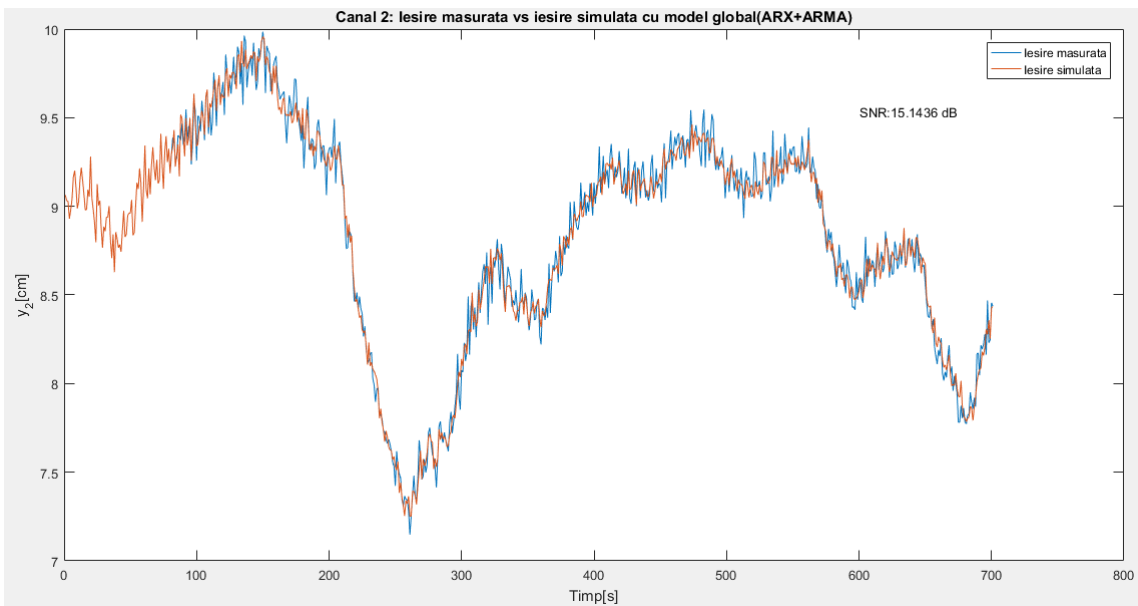


Figure 6.16: Canal 2: Ieșire măsurată vs ieșire simulată cu model global

#### 6.1.4 Implementare algoritm licurici

Algoritmul bazat pe licurici [7] a fost prezentat în (4.2). Acest algoritm este bazat pe mecanismele de atracție ce se desfășoară într-o populație de licurici. În contextul acestui algoritm, o posibilă soluție a problemei de identificare va fi reprezentată printr-un licurici ce are un comportament și niște proprietăți specifice (ex. emite lumină, este atras de alți licurici din grup).

Inițializarea populației se va face asemănător cu inițializarea populației din prima generație a algoritmului genetic (6.1.3). Se folosește, deci, o distribuție uniformă de probabilitate pentru a genera valoarea indicilor structurali. Un licurici este responsabil cu reținerea informației despre un model, anume valorile indicilor structurali de interes. De asemenea, fiecare licurici are capacitatea de a emite fasciculi de lumină în toate direcțiile, direct proporțional cu valoarea fitness-ului modelului identificat pe baza indicilor structurali reținuți.

Licuricii vor explora spațiul de căutare, schimbându-și poziția după fiecare iterație indiferent de valoarea fitness-ului lor de la iterarea curentă. Astfel, este posibil ca valoarea cea mai bună găsită de algoritm să nu se găsească în cadrul populației finale. Este posibil ca soluția optimă găsită de algoritm să fi fost întâlnită chiar și în cadrul uneia din primele iterări în drumul unuia din licurici. Valoarea cea mai bună care a fost întâlnită este reținută separat.

Se calculează valoarea funcției fitness în punctele în care se află fiecare licurici al primei populații.

După aceasta poate începe procesul iterativ de căutare.

Fiecare iterație a algoritmului se desfășoară conform următorilor pași:

- Pentru fiecare licurici în parte se va calcula poziția sa viitoare:
  - **Cacularea intensității luminoase** a fasciculilor emiși de fiecare licurici.
  - Se va considera o **subpopulație de posibili licurici țintă**, formată din toți licuricii mai strălucitori
  - Se formează o **distribuție de probabilitate** direct proporțională cu intensitatea luminoasă a licuricilor
  - Se folosește algoritmul lui Baker pentru a genera **licuriciul țintă**
  - Determinarea **poziției viitoare** pe baza licuriciului țintă și a perturbațiilor din partea celorlalți licurici:
    - \* Se calculează **perturbația** datorată fasciculilor de lumină pe care licuriciul curent îi percepere
    - \* Se calculează **influența licuriciului țintă**
    - \* Rezultatele de la cei 2 pași anteriori se combină pentru a obține **noua poziție** a licuriciului
  - Se aduce în spațiul de căutare licuriciul, dacă este cazul
  - Se **calculează fitness-ul** acestuia și se reține în cazul în care este mai mare decât cel mai bun întâlnit de până acum
- Licuriciul aflat în noua sa poziție va ocupa **noul loc în cadrul populației**, în funcție de fitness-ul său.

**Intensitatea luminoasă a licuricilor** se calculează plecând de la valoarea fitness-ului acestora, în funcție de care sunt sortați în cadrul populației. Fiecare licurici va avea o intensitate cuprinsă între **0.2**, pentru cel mai mic fitness și **1**, pentru cel mai mare fitness.

**Pozitia viitoare** a fiecărui licurici se va calcula pe baza influenței licuriciului țintă și a fasciculilor perturbatori, după cum este ilustrat în (6.17).

**Licuriciul țintă**, determinat pe baza intensității luminoase, va influența în mod decisiv traectoria individului curent, care va încerca să se deplaseze pe direcția acestuia și se va apropiă cu atât mai mult cu cât intensitatea țintei este mai mare.

$$x_p^{k+1} = x_p^k + \beta_{p,q}^k (x_q^k - x_p^k) + disturbance$$

Unde,

$$\beta_{p,q} = I_0 e^{-\gamma * distance}$$

**$I_0$**  - intensitatea luminoasă licuriciului țintă, iar  **$distance$**  - distanța dintre cei doi licurici în spațiul de căutare.

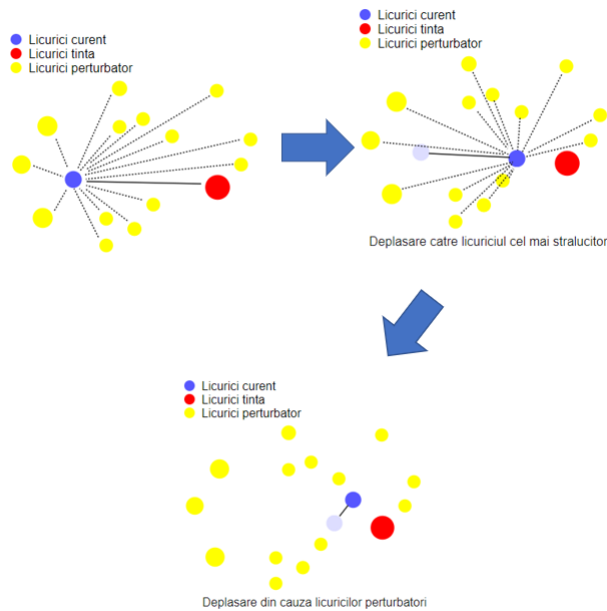


Figure 6.17: Determinare poziție viitoare

**Perturbația datorată luminii percepute din mediu** se determină prin:

- determinarea direcției perturbatoare,  $\zeta$  - se realizează folosind algoritmul lui Baker și **distribuția lui Levy** pentru a determina valorile de deplasare de-a lungul fiecarei dimensiuni a spațiului.
- determinarea în mod aleator a sensului perturbației
- generarea unui factor aleator,  $\alpha$  care cuantifică influența celorlalți licurici.

$$disturbance = \alpha^k sign(\rho^k - \frac{1}{2}) \zeta^k(\phi_s)$$

Unde,  $\zeta$  este un vector unidimensional cu lungimea dată de numărul dimensiunilor spațiului de căutare. Fiecare componentă a lui  $\zeta$  se află în intervalul  $[1; max_{indice}]$ .

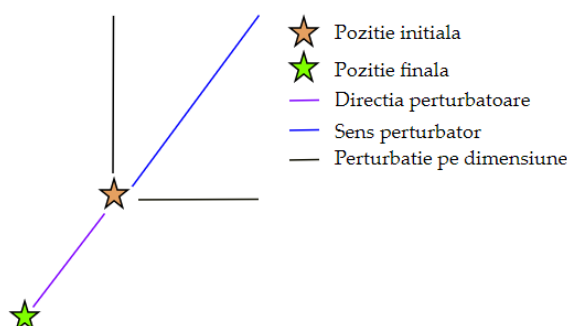


Figure 6.18: Perturbatia intensitatii luminoase a mediului

De exemplu, în (6.18), este ilustrat cum se determină perturbația luminoasă în cazul unui spațiu de căutare 2-dimensional.

Asemănător cu 6.1.3 se prezintă rezultatele obținute în urma rulării algoritmului bazat pe roi de licurici pe un spațiu de căutare similar cu cel din cazul algoritmului genetic. Evoluția fitness-ului părții utile, graficele cu partea utilă a semnalului și cu semnalul total, alături de zgromotul alb rezidual sunt prezentate în (6.19)-(6.26).

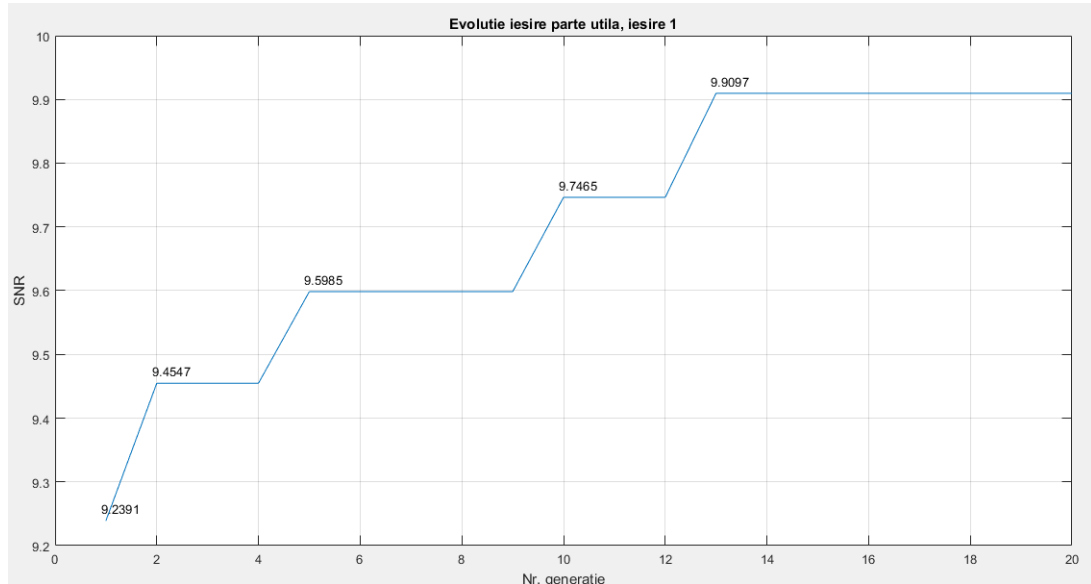


Figure 6.19: Evolutie fitness parte utilă ieșire 1

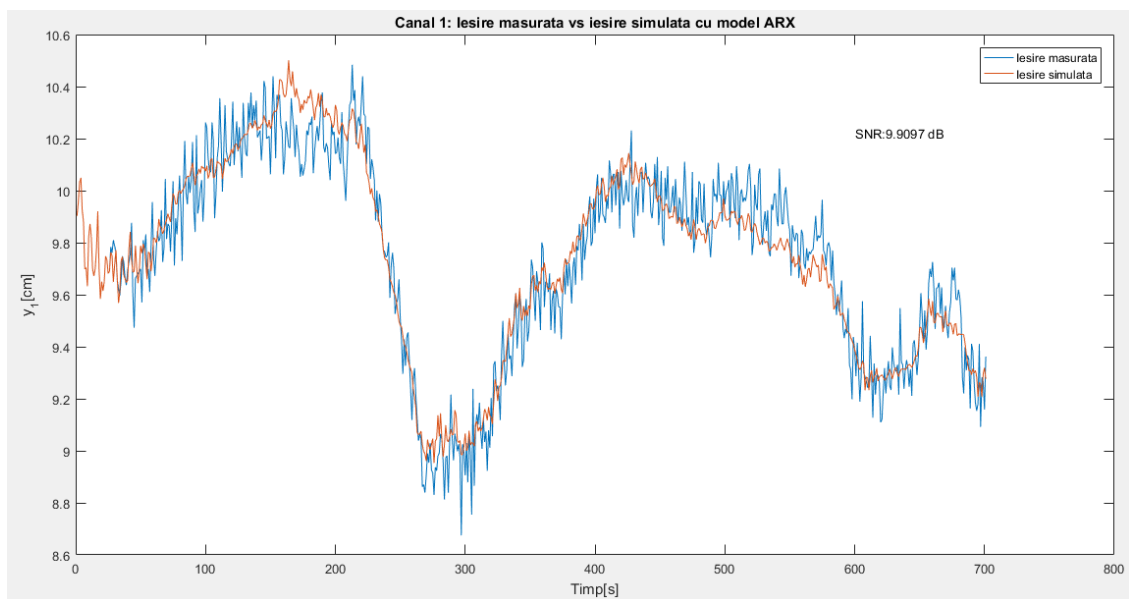


Figure 6.20: Canal 1: Ieșire măsurată vs ieșire simulată cu model ARX

Modelul identificat pentru prima ieșire are indicii structurali [na=18 nb1=20 nb2=26] pentru partea utilă, cu valoarea fitness-ului **9.9097 dB**. Evoluția pe parcursul generațiilor este prezentată în (6.19).

Modelul părții de zgomot are indicii structurali [nd=90 nc=16], iar fitness-ul ieșirii simulate totale pentru primul bazin este **12.6560 dB**.

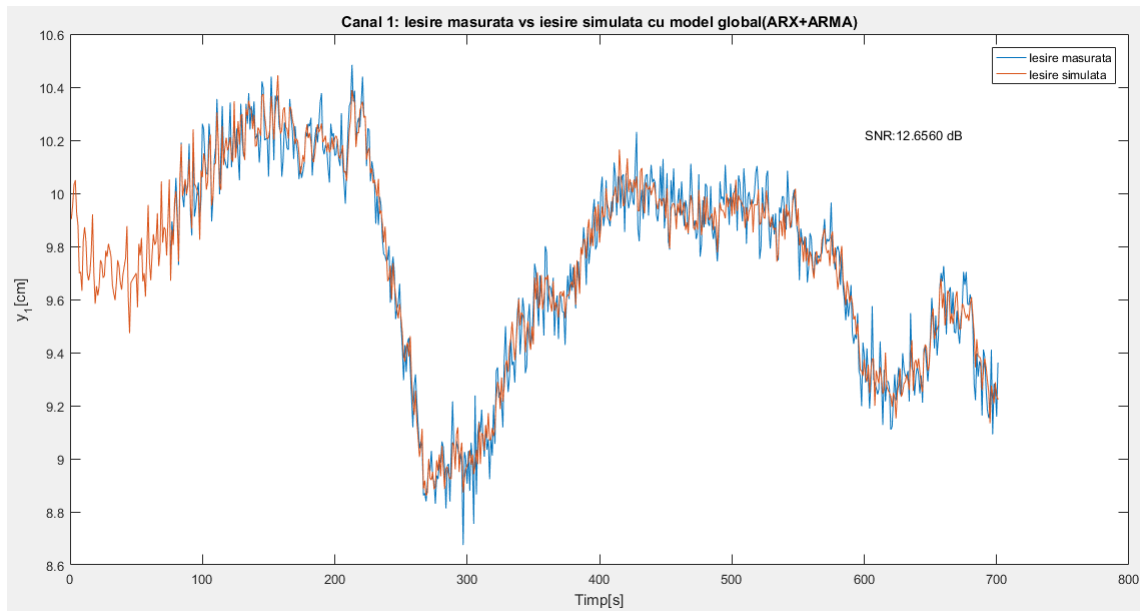


Figure 6.21: Canal 1: Ieșire măsurată vs ieșire simulată cu model global

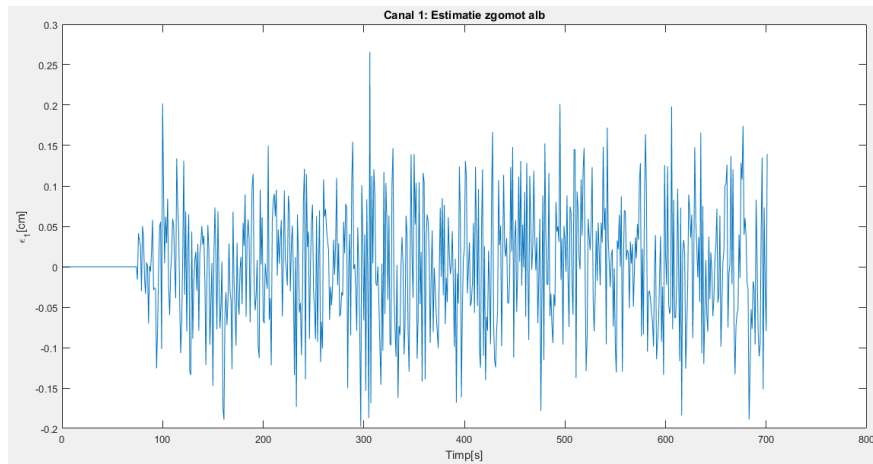


Figure 6.22: Zgomot de identificare ieșire 1

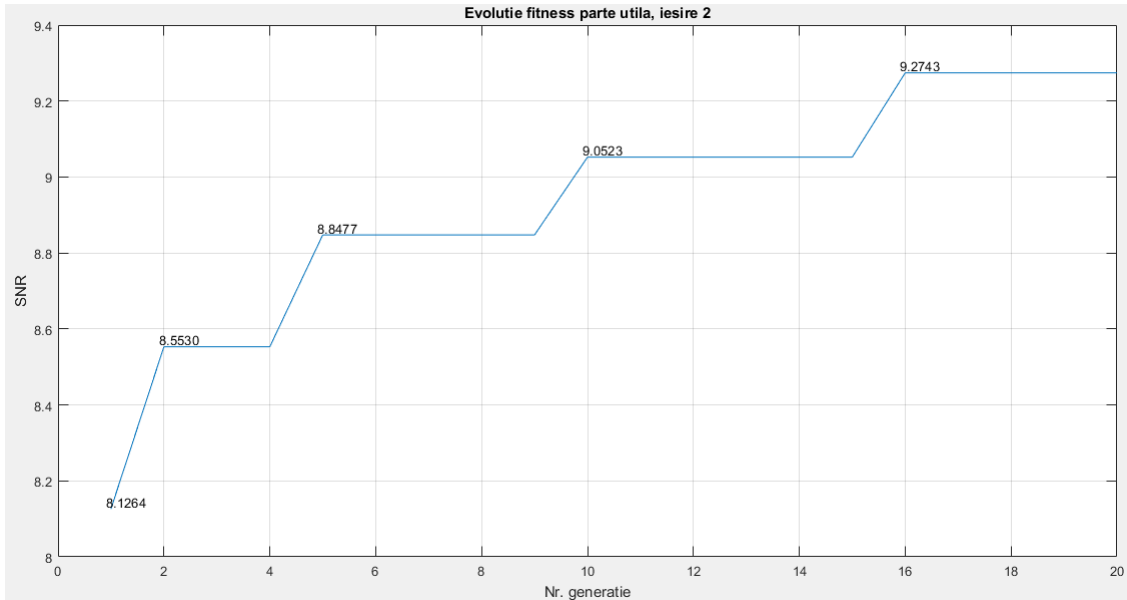


Figure 6.23: Evolutie fitness parte utilă ieșire 2

În cazul părții utile a modelului nivelului din al doilea bazin, evoluția fitness-ului maxim este ilustrată în (6.22), valoarea maximă găsită fiind de **9.2743 dB**, pentru setul de indici strucțurali [na=23 nb1=21 nb2=27].

Filtrul de zgomot care maximizează SNR-ul întreg semnalului simulat este obținut pentru indicii strucțurali [nd=81 nc=77], iar valoarea SNR este **15.2971 dB**.

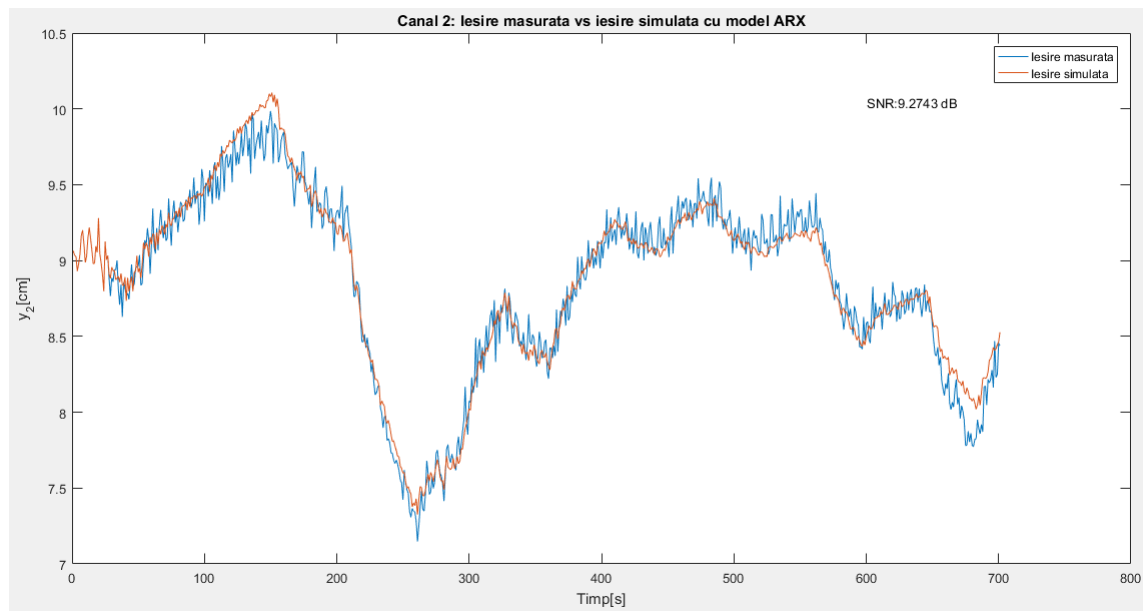


Figure 6.24: Canal 2: Ieșire măsurată vs ieșire simulată cu model ARX

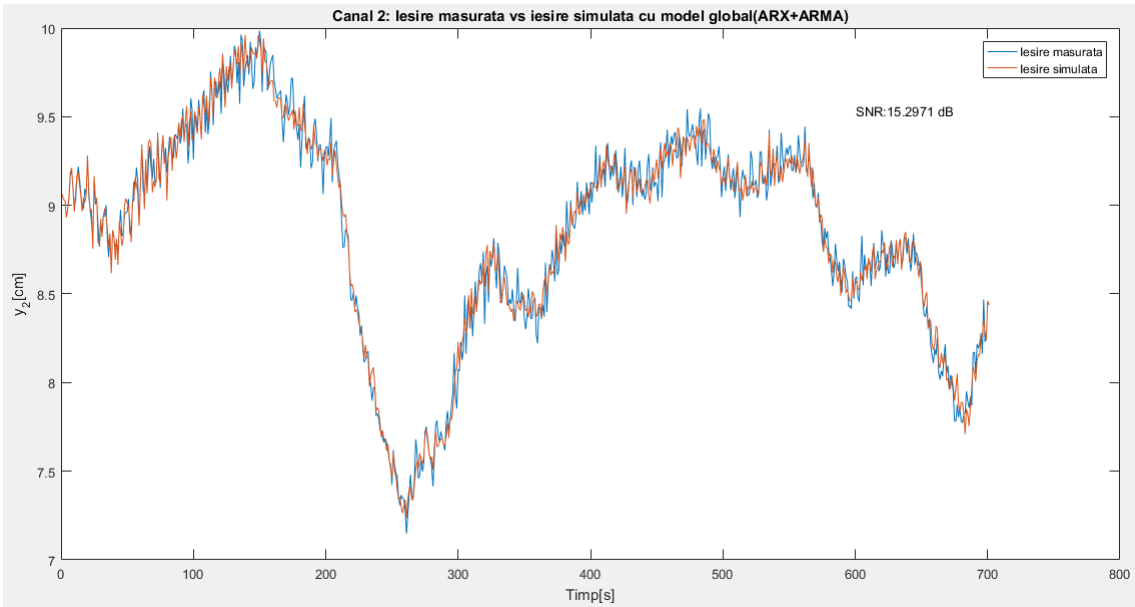


Figure 6.25: Canal 2: Ieșire măsurată vs ieșire simulată cu model global

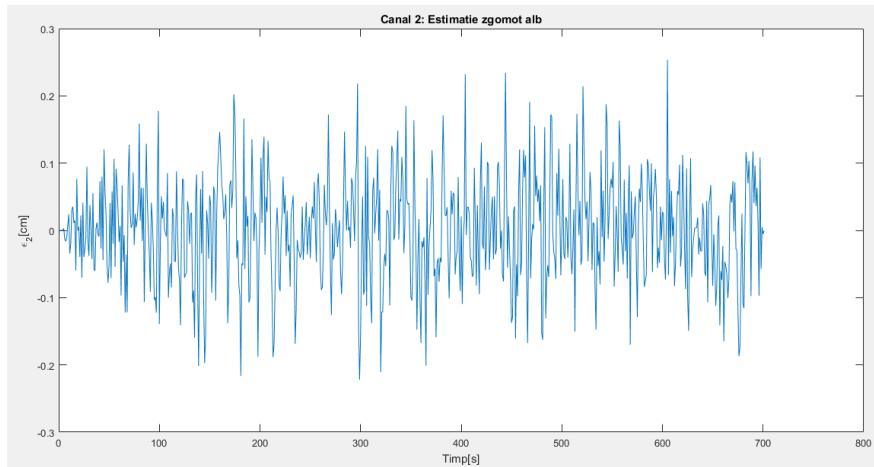


Figure 6.26: Zgomot de identificare iesire 2

### 6.1.5 Comparație algoritmi

Pentru a observa mai bine comportamentul celor doi algoritmi (consistența rezultatelor de la o rulare la alta, capacitatea de explorare, respectiv cea de exploatare), aceștia au fost rulați de mai multe ori.

Mai jos sunt atașate rezultate ale căutării optimului pentru partea utilă în scop comparativ, în diferite spații de căutare, de diferite dimensiuni:

Spatiu de căutare	Algoritm	Indici structurali	Iesire	Fitness
[12 12 12]	FA	[10 2 8]	1	8.9132
[12 12 12]	FA	[2 3 1]	2	6.5527
[12 12 12]	GA	[11 10 2]	1	8.9645
[12 12 12]	GA	[2 3 1]	2	6.5527
[20 20 20]	FA	[17 12 6]	1	9.0300
[20 20 20]	FA	[9 1 16]	2	8.3580
[20 20 20]	GA	[17 4 17]	1	9.5164
[20 20 20]	GA	[8 2 16]	2	8.3215

Figure 6.27: Tabel rulări

Conform rezultatelor prezentate în tabel (6.27), se pot trage următoarele concluzii:

- Pentru spații de căutare suficient de mici ambii algoritmi vor găsi modele foarte bune, datorită timpului mai mic necesar realizării unei căutări exhaustive
- Algoritmul bazat pe licurici se folosește mai mult de explorare, prin urmare, se poate ca acesta să ofere rezultate mai bune decât algoritmul genetic, după cum s-a remarcat în urma căutărilor prezentate în (6.1.3) și (6.1.4)
- Algoritmul genetic este mai consistent, oferind rezultate satisfăcătoare la fiecare rulare
- Algoritmul bazat pe licurici este capabil să găsească rezultate chiar mai bune decât algoritmul genetic, însă poate da greș mai des.

## 6.2 Proiectarea comenzii

Parametrii celor două regulatoare PID responsabile pentru urmărirea referinței și reacția perturbațiilor au fost identificați tot printr-o tehnică metaeuristică, după cum este prezentat în (5). Pentru codificarea parametrilor, au fost aleși 6 biți pentru fiecare alelă. Algoritmul genetic a fost implementat asemănător cu cel folosit pentru identificarea modelului. Populația inițială fost generată tot cu ajutorul algoritmului lui Baker.

Conform schemei din (5.5), identificarea parametrilor optimi ai regulatoarelor se face folosind dinamica modelului identificat. Rezultatele obținute în buclă închisă sunt folosite pentru calcularea fitness-ului ce corespunde perechii de regulatoare. În (6.28) este prezentată schema Simulink corespunzătoare identificării parametrilor, respectiv schema ce ilustrează conexiunile celor 2 pompe cu cele 2 bazine.

Cele 4 funcții de transfer discrete prezente în schemă modelează fiecare dinamică a ieșire - intrare din proces. Pentru identificarea parametrilor nu s-a luat în calcul decât partea utilă a modelelor identificate.

Au fost folosite 2 blocuri de saturare a ieșirilor, deoarece valorile negative ale nivelului de apă nu au sens. Regulatoarele PID au fost implementate tot sub formă de funcție de transfer discretă, fiecare dintre ele fiind responsabil cu staționarizarea erorii în câte o buclă de reglare.

Ponderile funcției criteriu din (5.7) trebuie alese de către proiectant în funcție de forma dorită a răspunsului indicial. Cei 3 indici de performanță pe baza cărora se face optimizarea sunt suprareglajul, timpul de creștere și timpul tranzitoriu. Scopul regulatoarelor căutate este de a urmări referința suficient de rapid, pastrând, totodată, un suprareglaj redus. În mod natural, valorile ponderilor timpilor de creștere și tranzitoriu ar trebui să fie cu atât mai mici cu cât procesul este mai lent.

În cazul procesului de față, timpul tranzitoriu este de aproximativ 200-250 secunde. Pentru o reducere cu 50 de secunde a timpului tranzitoriu, un suprareglaj cu 5 procente mai mare reprezintă un compromis acceptabil. De asemenea, conform [3], ponderarea pentru timpul tranzitoriu se poate alege de 3 ori mai mare decât cea pentru timpul de creștere. Astfel, valorile alese pentru cele 3 ponderi din (5.7) sunt:  $w_1 = 0.88$ ,  $w_2 = 0.09$ ,  $w_3 = 0.03$ .

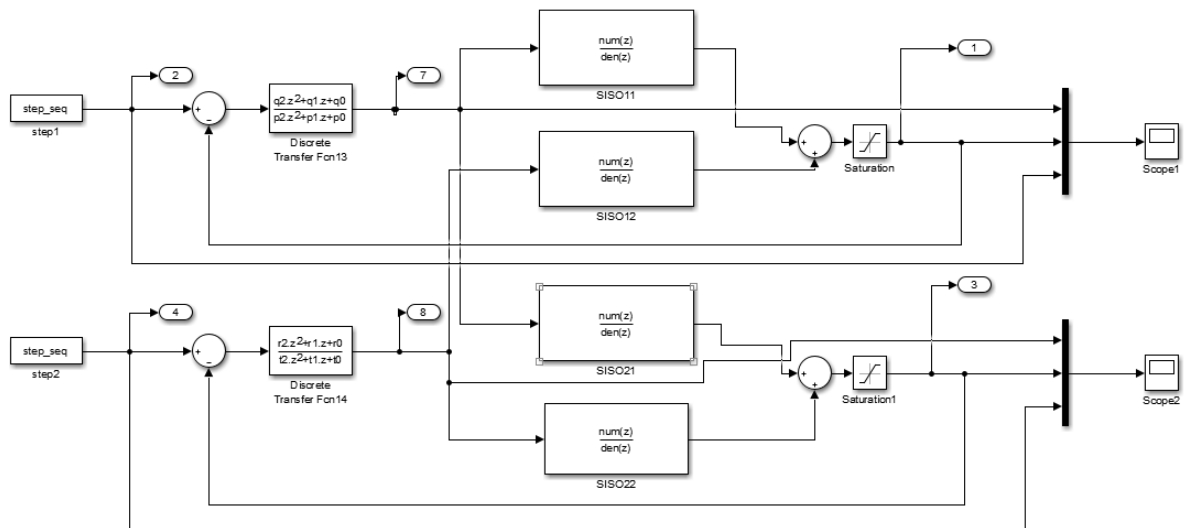


Figure 6.28: Schema de control

Pentru a simplifica procesul de căutare a parametrilor PID, au fost alese 2 modele cu indici structurali mai mici, păstrându-se, totodată, o apropiere satisfăcătoare a modelelor de procesul real. Astfel, polinoamele părții utile, folosite pentru identificarea celor două regulatoare PID sunt:

$$A_1(z^{-1}) = 1 - 1.262z^{-1} + 0.3794z^{-2} - 0.2731z^{-3} + 0.1182z^{-4} - 0.001059z^{-5} - 0.1054z^{-6} +$$

$$\begin{aligned}
 & 0.2272z^{-7} - 0.1462z^{-8} + 0.09446z^{-9} - 0.1955z^{-10} + 0.1683z^{-11} \\
 B_{11}(z^{-1}) = & -0.000172z^{-1} + 0.02248z^{-2} + 0.02239z^{-3} - 0.05996z^{-4} + 0.02913z^{-5} - 0.04914z^{-6} + \\
 & 0.04197z^{-7} - 0.02665z^{-8} + 0.06131z^{-9} - 0.03964z^{-10} \\
 B_{12}(z^{-1}) = & -0.03789z^{-1} + 0.04715z^{-2} - 0.005016z^{-3} - 0.04278z^{-4} + 0.0391z^{-5} + 0.008225z^{-6} + \\
 & 0.02026z^{-7} - 0.04589z^{-8} + 0.02064z^{-9} \\
 \\
 A_2(z^{-1}) = & 1 - 1.226z^{-1} + 0.03877z^{-2} - 0.2438z^{-3} + 1.158z^{-4} - 0.7117z^{-5} \\
 B_{21}(z^{-1}) = & -0.0004325z^{-1} - 0.03159z^{-2} + 0.03693z^{-3} + 0.02989z^{-4} - 0.03213z^{-5} - 0.009769z^{-6} + \\
 & 0.01514z^{-7} - 0.03496z^{-8} + 0.02684z^{-9} \\
 B_{22}(z^{-1}) = & 0.04656z^{-1} - 0.07365z^{-2} + 0.07072z^{-3} - 0.02001z^{-4} + 0.03516z^{-5} - 0.1141z^{-6} + \\
 & 0.09288z^{-7} - 0.01776z^{-8} + 0.05582z^{-9} - 0.06639z^{-10} + 0.009004z^{-11}
 \end{aligned}$$

Filtrul de zgomot este adăugat conform figurii (6.29), iar zgomotul alb care este aplicat la intrarea acestuia are dispersia calculată pe baza modelului de zgomot. Eroarea de predicție dintre ieșirea filtrului de zgomot și zgomotul colorat de identificare (diferența dintre ieșirea reală procesului și partea utilă a ieșirii simulate) reprezintă zgomotul alb. Varianța zgomotului alb are valoarea **0.0072** pentru primul model și **0.0070** pentru al doilea model.

De asemenea, o perturbație de 40% pentru primul model, respectiv pentru al doilea model a fost aplicată pentru a testa capacitatea de rejecție a sistemului de control.

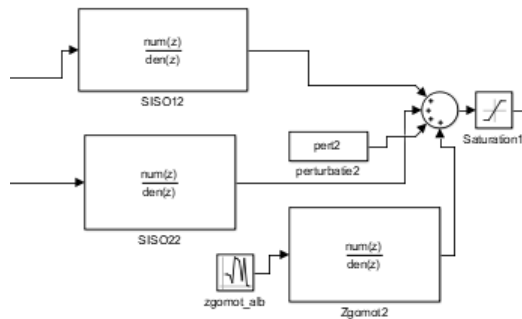


Figure 6.29: Perturbatie + zgomot

Coeficienții regulatoarelor identificate sunt următorii:  
 **$K_r = 0.3582$ ,  $Ti = 21.3725s$ ,  $Td = 0.019s$** , pentru primul PID  
 **$K_r = 0.3137$ ,  $Ti = 8.6275s$ ,  $Td = 0.0196s$** , pentru al doilea PID

În graficele (6.30) - (6.35), valorile de pe axa Oy sunt exprimate în procente. **100%** reprezintă **10V** pentru valoarea comenzi, respectiv **10cm** pentru valoarea nivelului din al doilea bazin. Pentru nivelul din primul bazin, 100% reprezintă **11cm**.

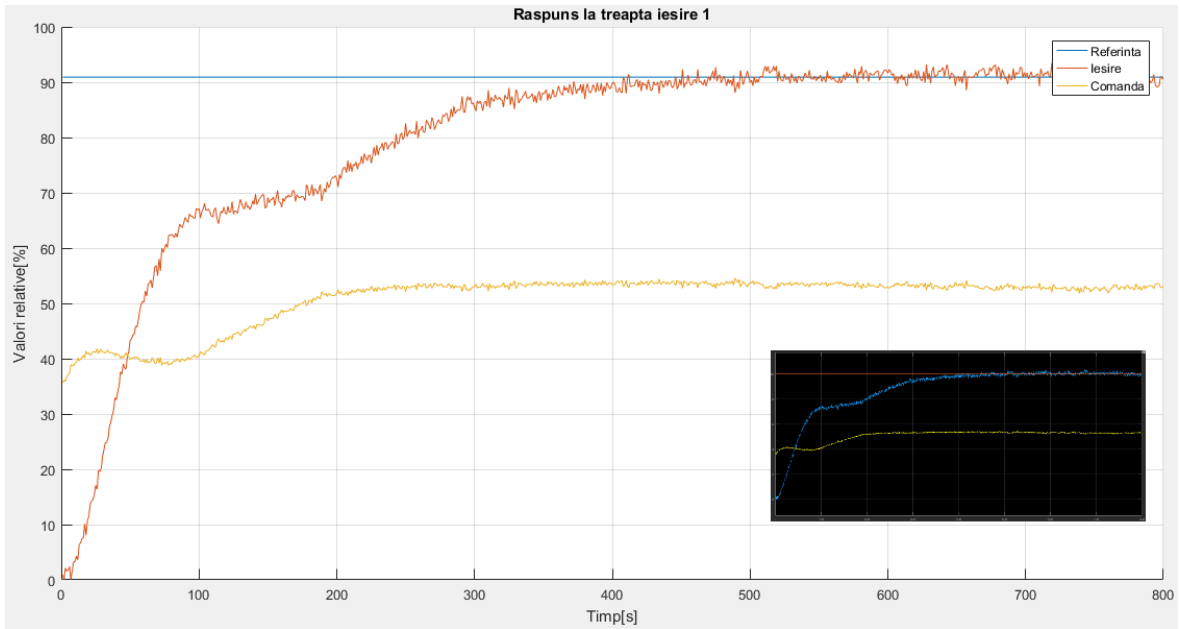


Figure 6.30: Răspuns la treaptă ieșire  $y_1$

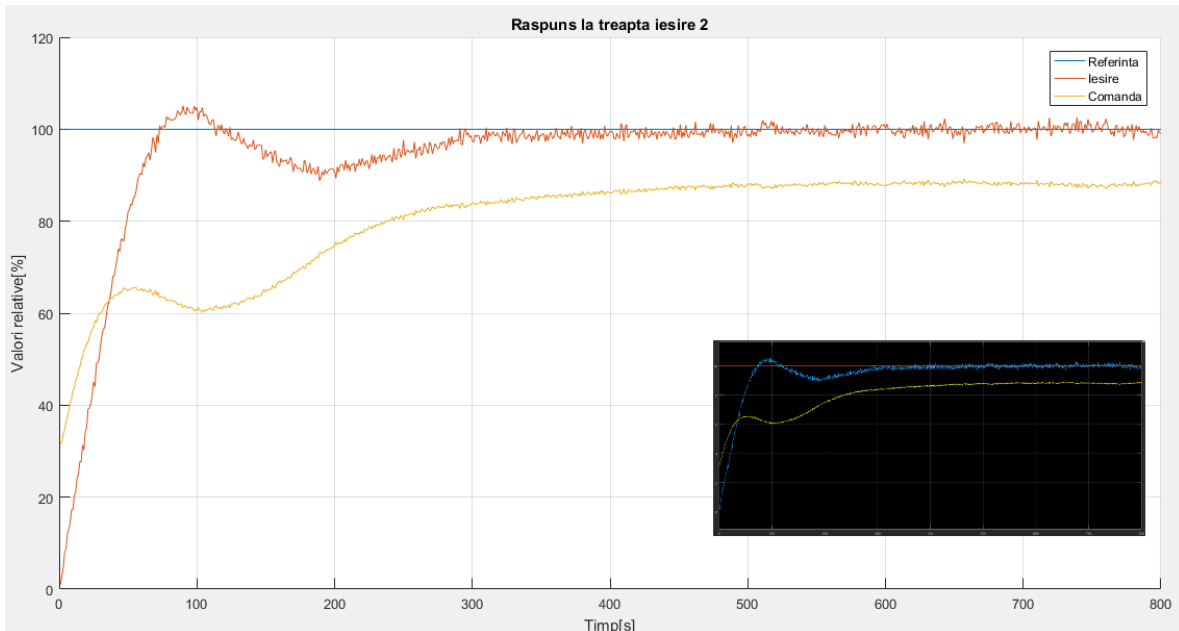


Figure 6.31: Răspuns la treaptă ieșire  $y_2$

Valorile indicatorilor de performanță ce ne interesează sunt următoarele:  
 $t_t = 290s, t_c = 210s, \sigma = 1.6\%$  pentru evoluția primului nivel.  
 $t_t = 295s, t_c = 50s, \sigma = 5.75\%$  pentru evoluția celui de-al doilea nivel.

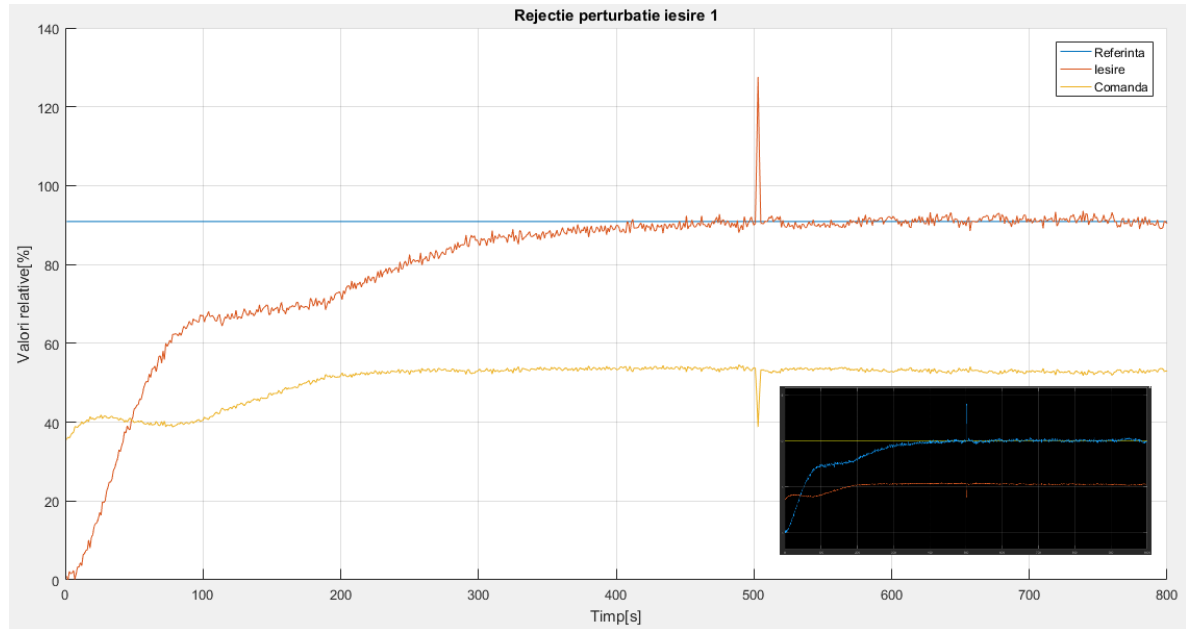


Figure 6.32: Rejectie perturbație ieșire  $y_1$

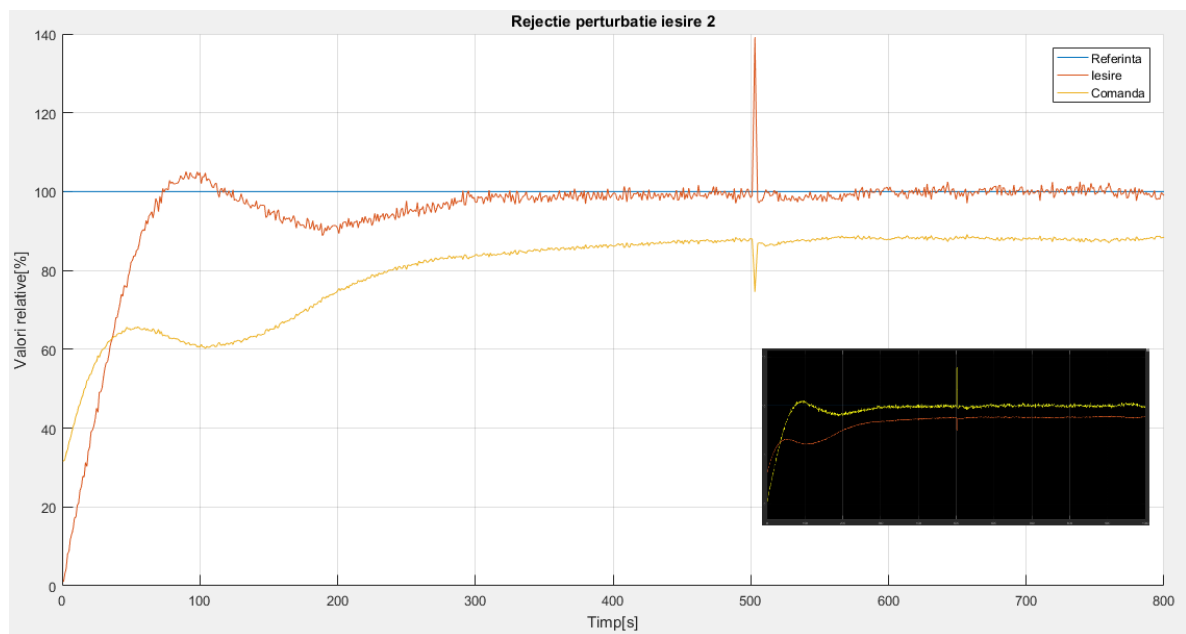


Figure 6.33: Rejectie perturbație ieșire  $y_2$

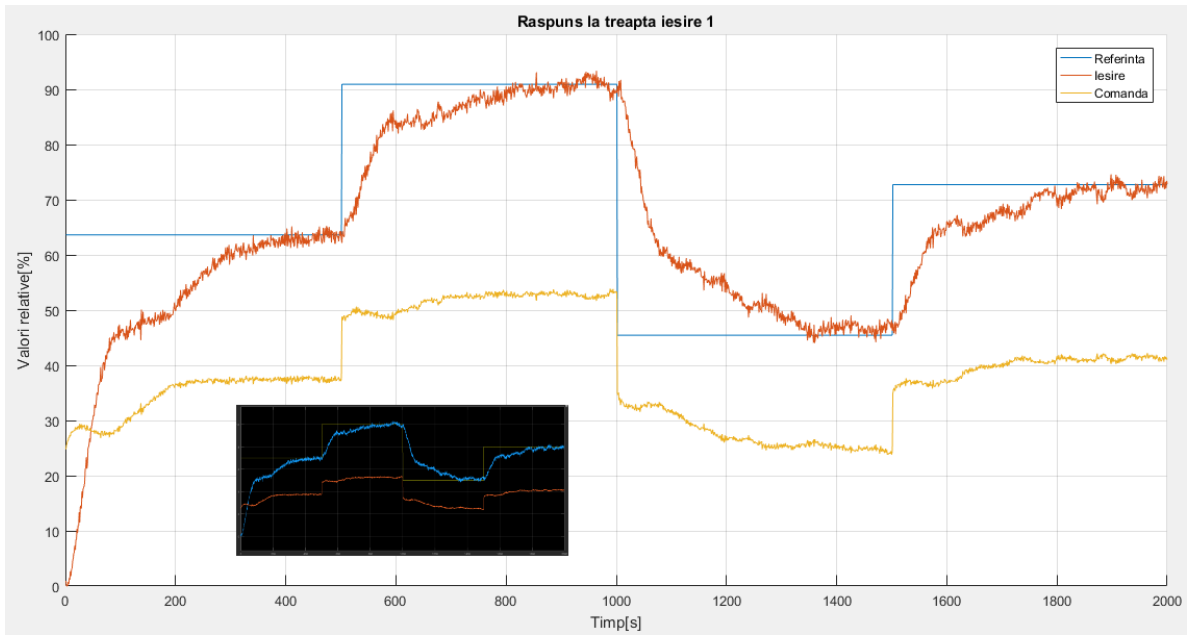


Figure 6.34: Succesiune trepte ieșire  $y_1$

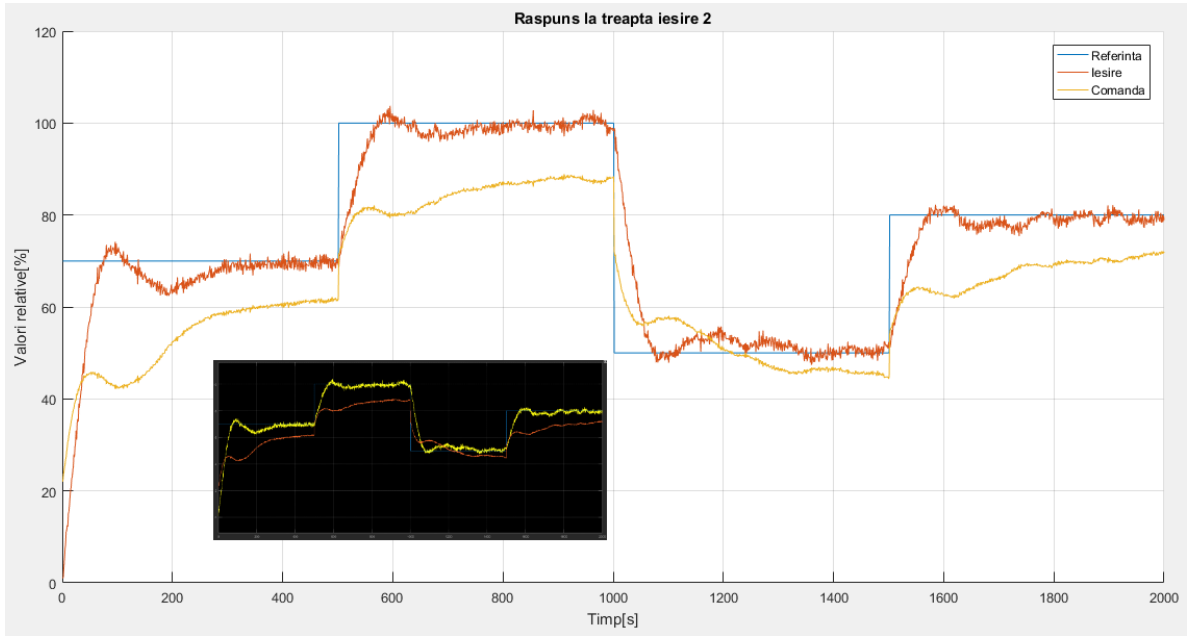


Figure 6.35: Succesiune trepte ieșire  $y_2$

## 7 Concluzii

În cadrul acestei lucrări s-a cărmărit identificarea unui model matematic din clasa **RSISO** care să surprindă cât mai fidel dinamica funcționării instalației ASTANK2 și proiectarea legii de comandă care să asigure performante impuse în buclă închisă și reacția perturbațiilor. S-a ales ca estimarea modelului de identificare să se realizeze în două etape, rezolvând succesiv două probleme de optimizare: maximizarea SNR-ului calculat pentru partea utilă modelului și respectiv maximizarea SNR-ului aferent filtrului de zgromot rezultat din estimarea zgromotului colorat de la etapa anterioară (prin diferența dintre ieșirea reală și cea simulată cu modelul util).

Au fost implementate două metaeuristici, pentru a optimiza structura unui model util de tip ARX și a unui model de zgromot de tip ARMA. Totodata, s-a realizat o analiză comparativă a performanțelor oferite de cele două metaheuristică. Modelele astfel identificate au fost folosite pentru a proiecta algoritmul de control al instalației, care să respecte performanțele precizate. Au fost realizate mai multe simulări ai celor doi algoritmi în scop comparativ. S-a observat că algoritmul genetic este mai fiabil, obținându-se valori satisfăcătoare la fiecare rulare. Pe de altă parte, pentru spații de căutare mai mari, algoritmul bazat pe licurici a dat rezultate mai bune datorită caracteristicii sale exploratorii. Cu toate astea, algoritmul bazat pe licurici s-a dovedit mai predispus la a eșua în a găsi rezultate satisfăcătoare, la anumite rulări.

S-a urmărit controlul instalației folosind mediul de programare Matlab și mediul de programare grafică Simulink. Regulatoarele PID folosite pentru control au fost proiectate plecând de la modelele identificate, folosind algoritmi genetici pentru optimizarea coeficienților acestora. Bucla de reglare pentru controlul nivelului în bazine este alcătuită din 2 astfel de regulatoare PID, procesului fiind multivariabil cu 3 intrări, dintre care una constantă.

O perspectivă viitoare de cercetare o reprezintă identificarea unor modele pe stare care să permită proiectarea de legi de control mai performante, precum controlul optimal sau predictiv. De asemenea, o posibilă îmbunătățire asupra legii de control ar fi proiectarea de regulatoare robuste care să permită controlul unor modele ce cuprind diferite tipuri de incertitudini. O altă direcție viitoare de cercetare o reprezintă identificarea în buclă închisă a modelului cu tot cu proiectare de regulator.

## Mulțumiri

În final, aş dori să îi mulțumesc profesorului coordonator de proiect, Conf.Dr.Ing. Janetta Culiță pentru sprijin, sfaturi prețioase și informații utile. De asemenea, doresc să îi mulțumesc domnului Prof.Dr.Ing. Dan Ștefănoiu pentru referințele bibliografice furnizate și pentru comentariile utile.

## Bibliografie

- [1] Janetta Culita, Dan Stefanouiu, and Alexandru Dumitrascu. Astank2: analytical modeling and simulation. In *2015 20th International Conference on Control Systems and Computer Science*, pages 141-148. IEEE, 2015.
- [2] Janetta Culita and Dan Stefanouiu. Multi-model identification of pumping system in astank2 plant. In *2017 21st International Conference on Control Systems and Computer Science (CSCS)*, pages 59-66. IEEE, 2017.
- [3] Jyoti Ohri , Naveen Kumar, Minakshi Chinda. An Improved Genetic Algorithm for PID Parameter Tuning. In *Proceedings of the 2014 International Conference on Circuits, Systems, Signal Processing, Communications and Computers (CSSCC '14)*, pages 191-198.
- [4] MOHD S. SAAD, HISHAMUDDIN JAMALUDDIN, INTAN Z. M. DARUS. PID Controller Tuning Using Evolutionary Algorithms. In *WSEAS Transactions on Systems and Control*, pages 139-149.
- [5] Yongsheng Fang and Jun Li. A Review of Tournament Selection in Genetic Programming. In *Advances in Computation and Intelligence*, pages 181-192. Springer, 2010.
- [6] Nur Farahlina Johari, Azlan Mohd Zain, Noorfa Haszlinna Mustaffa, Amirmudin Udin. Firefly Algorithm for Optimization Problem. In *Applied Mechanics and Materials Vol. 421 (2013)*, pages 512-517.
- [7] Borne, P.; Popescu, D.; Filip, F.G. ; řtefănoiu, D. *Optimization in Engineering Sciences Exact Methods*, 1st ed., London, U.K.: John Wiley & Sons & ISTE Press, 2013
- [8] C. Lupu C. Petrescu B. Ciubotaru C. Dimon D. Popescu, D. řTEFĂNOIU. *Automatică Industrială*, Editura AGIR, 2006.
- [9] D. řtefănoiu, J.Culiă, P.Stoica. *Fundamentele modelării și identificării sistemelor*, Ed. Printech, 2005
- [10] J. Culiă, D. řtefănoiu. *Modelarea analitică și experimentală a sistemelor*, Ed. Printech, 2008.
- [11] I. Dumitrache. *Ingineria reglării automate*, Editura Politehnica Press, 2010